

برقی و مقناطیسیات

خالد خان یوسفزئی
 کامیٹ انسٹیٹیوٹ آف انفارمیشن ٹیکنالوجی، اسلام آباد
 khalidyousafzai@comsats.edu.pk

عنوان

3

1	4	سمتیات	1
1.1	5	مقداری اور سمتیہ	1.1
1.2	6	سمتی الجبرا	1.2
1.3	7	کارتیسی محدود	1.3
1.4	8	اکائی سمتیات	1.4
1.5	9	میدانی سمتیہ	1.5
1.6	10	سمتی رقبہ	1.6
1.7	11	غیر سمتی ضرب	1.7
1.8	12	سمتی ضرب یا صلیبی ضرب	1.8
1.9	13	گول نلکی محدود	1.9
1.9.1	14	نلکی اکائی سمتیات کا کارتسی اکائی سمتیات کے ساتھ غیر سمتی ضرب	1.9.1
1.9.2	15	نلکی اور کارتسی اکائی سمتیات کا تعلق	1.9.2
1.9.3	16	نلکی لامحدود سطحیں	1.9.3
1.10	17	کروی محدود	1.10
2	18	کولومب کا قانون	2
2.1	19	قوت کشش یا دفع	2.1
2.2	20	برقی میدان کی شدت	2.2
2.3	21	یکساں چارج بردار سیدھی لامحدود لکیر کا برقی میدان	2.3
2.4	22	یکساں چارج بردار ہموار لامحدود سطح	2.4
2.5	23	چارج بردار حجم	2.5
2.6	24	مزید مثال	2.6
2.7	25	برقی میدان کے سمت بہاؤ خط	2.7

67 ²⁶	گاؤس کا قانون اور پھیلاؤ	3
67 ²⁷	ساکن چارج	3.1
67 ²⁸	فیراڈے کا تجربہ	3.2
68 ²⁹	گاؤس کا قانون	3.3
70 ³⁰	گاؤس کے قانون کا استعمال	3.4
70 ³¹	نقطہ چارج	3.4.1
72 ³²	یکساں چارج بردار کروی سطح	3.4.2
72 ³³	یکساں چارج بردار سیدھی لامحدود لکیر	3.4.3
73 ³⁴	ہم محوری تار	3.5
75 ³⁵	یکساں چارج بردار ہموار لامحدود سطح	3.6
75 ³⁶	انتہائی چھوٹی حجم پر گاؤس کے قانون کا اطلاق	3.7
78 ³⁷	پھیلاؤ	3.8
80 ³⁸	نلکی محدود میں پھیلاؤ کی مساوات	3.9
82 ³⁹	پھیلاؤ کی عمومی مساوات	3.10
84 ⁴⁰	مسئلہ پھیلاؤ	3.11
87 ⁴¹	توانائی اور برقی دباؤ	4
87 ⁴²	توانائی اور کام	4.1
88 ⁴³	لکیری تکملہ	4.2
93 ⁴⁴	برقی دباؤ	4.3
94 ⁴⁵	نقطہ چارج کا برقی دباؤ	4.3.1
95 ⁴⁶	لکیری چارج کثافت سے پیدا برقی دباؤ	4.3.2
96 ⁴⁷	ہم محوری تار کا برقی دباؤ	4.3.3
96 ⁴⁸	متعدد نقطہ چارجوں کی برقی دباؤ	4.4
100 ⁴⁹	برقی دباؤ کی ڈھلوان	4.5
104 ⁵⁰	نلکی محدود میں ڈھلوان	4.5.1
105 ⁵¹	کروی محدود میں ڈھلوان	4.5.2
106 ⁵²	جفت قطب	4.6
108 ⁵³	جفت قطب کے سمت بہاؤ خط	4.6.1
111 ⁵⁴	ساکن برقی میدان کی کثافت توانائی	4.7

117 ₅₅	موصل، ذو برق اور کیپسٹر	5
117 ₅₆	برقی رو اور کثافت برقی رو	5.1
119 ₅₇	استمراری مساوات	5.2
121 ₅₈	موصل	5.3
126 ₅₉	موصل کے خصوصیات اور سرحدی شرائط	5.4
129 ₆₀	عکس کی ترکیب	5.5
132 ₆₁	نیم موصل	5.6
133 ₆₂	ذو برق	5.7
138 ₆₃	کامل ذو برق کے سرحد پر برقی شرائط	5.8
142 ₆₄	موصل اور ذو برقی کے سرحدی شرائط	5.9
142 ₆₅	کیپسٹر	5.10
144 ₆₆	5.10.1 متوازی چادر کیپسٹر	
145 ₆₇	5.10.2 ہم محوری کیپسٹر	
145 ₆₈	5.10.3 ہم کوہ کیپسٹر	
147 ₆₉	5.11 سلسلہ وار اور متوازی جڑے کیپسٹر	
148 ₇₀	5.12 دو متوازی تاروں کا کیپسٹنس	
157 ₇₁	پوٹنسن اور لاپلاس مساوات	6
159 ₇₂	6.1 مسئلہ یکنائی	
160 ₇₃	6.2 لاپلاس مساوات خطی ہے	
161 ₇₄	6.3 نلکی اور کروی محدود میں لاپلاس کی مساوات	
162 ₇₅	6.4 لاپلاس مساوات کے حل	
168 ₇₆	6.5 پوٹنسن مساوات کے حل کی مثال	
171 ₇₇	6.6 لاپلاس مساوات کا ضربی حل	
178 ₇₈	6.7 عددی دہرائے کا طریقہ	

185 ⁹	ساکن مقناطیسی میدان	7
185 ¹⁰	بایوٹ-سیوارٹ کا قانون	7.1
189 ¹¹	ایمپیٹر کا دوری قانون	7.2
194 ¹²	گردش	7.3
201 ¹³	نلکی محدود میں گردش	7.3.1
206 ¹⁴	عمومی محدود میں گردش کی مساوات	7.3.2
208 ¹⁵	کروی محدود میں گردش کی مساوات	7.3.3
209 ¹⁶	مسئلہ سٹوکس	7.4
212 ¹⁷	مقناطیسی بہاؤ اور کثافت مقناطیسی بہاؤ	7.5
219 ¹⁸	غیر سمتی اور سمتی مقناطیسی دباؤ	7.6
224 ¹⁹	ساکن مقناطیسی میدان کے قوانین کا حصول	7.7
224 ²⁰	سمتی مقناطیسی دباؤ	7.7.1
226 ²¹	ایمپیٹر کا دوری قانون	7.7.2
231 ²²	مقناطیسی قوتیں، مقناطیسی مادے اور امالہ	8
231 ²³	متحرک چارج پر قوت	8.1
232 ²⁴	تفرقی چارج پر قوت	8.2
235 ²⁵	برقی رو گزارتے تفرقی تاروں کے مابین قوت	8.3
236 ²⁶	قوت اور مروڑ	8.4
241 ²⁷	فولادی مقناطیسی اشیاء اور مقناطیسی خطے	8.5
242 ²⁸	مقناطیسیت اور مقناطیسی مستقل	8.6
245 ²⁹	مقناطیسی سرحدی شرائط	8.7
246 ³⁰	مقناطیسی دور	8.8
249 ³¹	مقناطیسی مخفی توانائی	8.9
250 ³²	خود امالہ اور مشترکہ امالہ	8.10
254 ³³	مشترکہ امالہ	8.11

257 ₁₀₄	9	وقت کے ساتھ بدلنے میدان اور میکس ویل کے مساوات
257 ₁₀₅	9.1	فیراڈے کا قانون
263 ₁₀₆	9.2	انتقالی برقی رو
267 ₁₀₇	9.3	میکس ویل مساوات کی نقطہ شکل
268 ₁₀₈	9.4	میکس ویل مساوات کی تکمل شکل
270 ₁₀₉	9.5	تاخیری دباو
275 ₁₁₀	10	مستوی امواج
275 ₁₁₁	10.1	خالی خلاء میں برقی و مقناطیسی مستوی امواج
276 ₁₁₂	10.2	برقی و مقناطیسی مستوی امواج
283 ₁₁₃	10.2.1	خالی خلاء میں امواج
285 ₁₁₄	10.2.2	خالص یا کامل ذو برق میں امواج
287 ₁₁₅	10.2.3	ناقص یا غیر کامل ذو برقی میں امواج
290 ₁₁₆	10.3	پوئنٹنگ سمتیہ
294 ₁₁₇	10.4	موصل میں امواج
300 ₁₁₈	10.5	انعکاس مستوی موج
306 ₁₁₉	10.6	شرح ساکن موج
313 ₁₂₀	11	ترسیلی تار
313 ₁₂₁	11.1	ترسیلی تار کے مساوات
317 ₁₂₂	11.2	ترسیلی تار کے مستقل
318 ₁₂₃	11.2.1	ہم محوری تار کے مستقل
321 ₁₂₄	11.2.2	دو متوازی تار کے مستقل
322 ₁₂₅	11.2.3	سطح مستوی ترسیلی تار
323 ₁₂₆	11.3	ترسیلی تار کے چند مثال
328 ₁₂₇	11.4	ترسیمی تجزیہ، سمتیہ نقشہ
335 ₁₂₈	11.4.1	سمتہ فراوانی نقشہ
336 ₁₂₉	11.5	تجرباتی نتائج پر مبنی چند مثال

341 ₁₃₀	12	تقطیب موج
341 ₁₃₁	12.1	خطی، بیضوی اور دائری تقطیب
344 ₁₃₂	12.2	بیضوی یا دائری قطبی امواج کا پرنٹنگ سمتیہ
347 ₁₃₃	13	ترچھی آمد، انعکاس، انحراف اور انکسار
347 ₁₃₄	13.1	ترچھی آمد
358 ₁₃₅	13.2	ترسیم بائی گن
361 ₁₃₆	14	مویج اور گھمکیا
361 ₁₃₇	14.1	برقی دور، ترسیلی تار اور مویج کا موازنہ
362 ₁₃₈	14.2	دو لامحدود وسعت کے مستوی چادروں کے مویج میں عرضی برقی موج
368 ₁₃₉	14.3	کھوکھلا مستطیلی مویج
377 ₁₄₀	14.3.1	مستطیلی مویج کے میدان پر تفصیلی غور
384 ₁₄₁	14.4	مستطیلی مویج میں عرضی مقناطیسی TM_{mn} موج
388 ₁₄₂	14.5	کھوکھلی نالی مویج
395 ₁₄₃	14.6	انقطاعی تعدد سے کم تعدد پر تضعیف
397 ₁₄₄	14.7	انقطاعی تعدد سے بلند تعدد پر تضعیف
399 ₁₄₅	14.8	سطحی موج
404 ₁₄₆	14.9	ذو برق تختی مویج
407 ₁₄₇	14.10	شیش ریشہ
410 ₁₄₈	14.11	پردہ بصارت
412 ₁₄₉	14.12	گھمکی خلاء
415 ₁₅₀	14.13	میکس ویل مساوات کا عمومی حل

- 423⁵² تعارف 15.1
- 423⁵³ تاخیری دباؤ 15.2
- 425⁵⁴ تکمل 15.3
- 426⁵⁵ مختصر جفت قطبی اینٹینا 15.4
- 434⁵⁶ مختصر جفت قطب کا اخراجی مزاحمت 15.5
- 438⁵⁷ ٹھوس زاویہ 15.6
- 439⁵⁸ اخراجی رقبہ، سمتیت اور افزائش 15.7
- 446⁵⁹ قطاری ترتیب 15.8
- 446⁶⁰ 15.8.1 غیر سمتی، دو نقطہ منبع
- 447⁶¹ 15.8.2 ضرب نقش
- 448⁶² 15.8.3 ثنائی قطار
- 450⁶³ 15.8.4 یکساں طاقت کے متعدد رکن پر مبنی قطار
- 452⁶⁴ 15.8.5 یکساں طاقت کے متعدد رکن پر مبنی قطار: چوڑائی جانب اخراجی قطار
- 452⁶⁵ 15.8.6 یکساں طاقت کے متعدد رکن پر مبنی قطار: لمبائی جانب اخراجی قطار
- 456⁶⁶ 15.8.7 یکساں طاقت کے متعدد رکن پر مبنی قطار: بدلنے زاویہ اخراجی اینٹینا
- 457⁶⁷ 15.9 تداخل پیمہ
- 458⁶⁸ 15.10 مسلسل خطی اینٹینا
- 459⁶⁹ 15.11 مستطیل سطحی اینٹینا
- 462⁷⁰ 15.12 اخراجی سطح پر میدان اور دور میدان آپس کے فورویئر بدل ہیں
- 462⁷¹ 15.13 خطی اینٹینا
- 467⁷² 15.14 چلتے موج اینٹینا
- 468⁷³ 15.15 چھوٹا گھیرا اینٹینا
- 469⁷⁴ 15.16 پیچ دار اینٹینا
- 471⁷⁵ 15.17 دو طرفہ کردار
- 473⁷⁶ 15.18 جھری اینٹینا
- 474⁷⁷ 15.19 پیپا اینٹینا
- 476⁷⁸ 15.20 فرانس ریڈار مساوات
- 479⁷⁹ 15.21 ریڈیائی دوربین، اینٹینا کی حرارت اور تحلیلی کارکردگی
- 481⁸⁰ 15.22 حرارت نظام اور حرارت بعید

کولومب کا قانون

2.1 قوت کشش یا دفع

نیوٹن کے **کائناتی تجاذب کے قانون**¹ سے آپ بخوبی واقف ہوں گے۔ **کولومب کا قانون**² اس سے قریبی مشابہت رکھتا ہے۔ کائناتی تجاذب کے قانون کو مساوات 2.1 میں پیش کیا گیا ہے۔

$$(2.1) \quad F = G \frac{M_1 M_2}{R^2}$$

یہ مساوات کمیت M_1 اور کمیت M_2 کے مابین قوت کشش F دیتا ہے جہاں ایک کمیت کے مرکز سے دوسری کمیت کے مرکز تک کا فاصلہ R ہے۔ قوت کشش دونوں کمیت کے حاصل ضرب کے راست متناسب اور ان کے مرکروں کے درمیانی فاصلے کے مربع کے بالعکس متناسب ہوتی ہے۔ دونوں کمیتوں پر قوت کشش کی مقدار برابر ہوتی ہے اور یہ قوت دونوں کمیتوں کے مرکروں پر کھینچی لکیر پر عمل درآمد ہوتی ہے۔ M_1 پر قوت کشش کی سمت M_1 کے مرکز سے M_2 کے مرکز کی جانب کو ہوتا ہے جبکہ M_2 پر قوت کشش کی سمت M_2 کے مرکز سے M_1 کے مرکز کی جانب کو ہوتا ہے۔ تناسب کے جزو مستقل کو G لکھا اور **تجاذبی مستقل**³ پکارا جاتا ہے جس کی قیمت تقریباً $6.674 \times 10^{-11} \frac{\text{m}^3}{\text{kg s}^2}$ کے برابر ہے۔

کولومب کا قانون مساوات 2.2 میں بیان کیا گیا ہے۔ یہ مساوات چارج Q_1 اور چارج Q_2 کے مابین قوت کشش یا قوت دفع F دیتا ہے جہاں ایک چارج کے مرکز سے دوسری چارج کے مرکز تک کا فاصلہ R ہے۔ ان چارجوں کا حجم صفر تصور کیا جاتا ہے۔ یوں اگر چارج کو گیند کی شکل کا تصور کیا جائے تو اس گیند کے رداس کی لمبائی صفر ہوگی۔ ایسے چارج کو **نقطہ چارج**⁴ کہا جاتا ہے۔

$$(2.2) \quad F = \frac{1}{4\pi\epsilon_0} \frac{Q_1 Q_2}{R^2}$$

قوت کشش یا دفع دونوں چارجوں کے حاصل ضرب کے راست متناسب اور باہمی فاصلہ کے مربع کے بالعکس متناسب ہوتی ہے۔ دونوں چارجوں پر قوت کی مقدار برابر ہوتی ہے اور یہ قوت دونوں چارجوں سے گزرتی لکیر پر عمل درآمد ہوتی ہے۔ دو مختلف اقسام کے چارجوں کے مابین قوت کشش پائی جاتی ہے جبکہ دو یکساں

Law of Universal Gravitation¹
Coulomb's law²
gravitational constant³
point charge⁴

چار جوں کے مابین قوت دفع پائی جاتی ہے۔ مساوات کے جزو مستقل کو $\frac{1}{4\pi\epsilon_0}$ لکھا جاتا ہے جہاں ϵ_0 خالی خلاء کا **برقی مستقل**⁶⁵ ہے جس کی قیمت اٹل ہے۔ خالی خلاء کے برقی مستقل کی قیمت

$$(2.3) \quad \epsilon_0 = \frac{1}{\mu_0 c^2}$$

ہے جہاں c خالی خلاء میں روشنی کی رفتار اور μ_0 خالی خلاء کی **مقناطیسی مستقل**⁷ ہے۔ یہ دونوں بھی اٹل مستقل ہیں جن کی قیمتیں

$$(2.4) \quad c = 299\,792\,458 \frac{\text{m}}{\text{s}} \approx 3 \times 10^8 \frac{\text{m}}{\text{s}}$$

$$(2.5) \quad \mu_0 = 4\pi \times 10^{-7} \frac{\text{H}}{\text{m}}$$

ہیں۔ یوں مقناطیسی مستقل کی قیمت تقریباً

$$(2.6) \quad \epsilon_0 = 8.854 \times 10^{-12} \doteq \frac{1}{36\pi} 10^{-9} \frac{\text{F}}{\text{m}}$$

کے برابر ہے۔ اس کتاب میں $\frac{1}{4\pi\epsilon_0}$ بار بار استعمال ہوگا جسے عموماً

$$(2.7) \quad \frac{1}{4\pi\epsilon_0} \doteq 9 \times 10^9$$

لیا جائے گا۔ ϵ_0 کی اکائی فیئرڈائی میٹر $\frac{\text{F}}{\text{m}}$ ہے جس کی وضاحت جلد کر دی جائے گی۔

599

600

مثال 2.1: زمین کی سطح پر زمین اور ایک کلو گرام کمیت کے مابین 9.8 N کی قوت کشش پائی جاتی ہے۔ زمین کا رداس 6370 km لیتے ہوئے زمین کی کمیت حاصل کریں۔

602

حل: مساوات 2.1 کی مدد سے

$$9.8 = \frac{6.674 \times 10^{-11} \times M \times 1}{6\,370\,000 \times 6\,370\,000}$$

603

لکھتے ہوئے زمین کی کمیت $5.959 \times 10^{24} \text{ kg}$ حاصل ہوتی ہے۔

604

605

مثال 2.2: زمین کی مرکز سے تقریباً $42\,000 \text{ km}$ کے فاصلے پر ذرائع ابلاغ کے سیٹلائٹ زمین کے گرد مدار میں گردش کرتے ہیں۔ پوری دنیا میں **بی تار**⁸ مواصلاتی نظام انہیں کے مہزون منت ہے۔ اس فاصلے پر ایک کلو گرام کی کمیت اور زمین کے مابین قوت کشش کی مقدار حاصل کریں۔

607

حل:

$$F = \frac{6.674 \times 10^{-11} \times 5.959 \times 10^{24} \times 1}{42\,000\,000 \times 42\,000\,000} = 0.225 \text{ N}$$

608

609

مثال 2.3: ایک ایک کولومب کے دو مثبت چارجوں کے درمیان ایک میٹر کا فاصلہ ہے۔ ان میں قوت دفع حاصل کریں۔

610

حل: $\frac{1}{4\pi\epsilon_0}$ کی قیمت مساوات 2.7 سے لیتے ہوئے

$$F = 9 \times 10^9 \frac{1 \times 1}{1 \times 1} = 9 \times 10^9 \text{ N}$$

611

مندرجہ بالا مثال سے آپ دیکھ سکتے ہیں کہ چارج کی اکائی (کولومب) انتہائی بڑی مقدار ہے۔

612

شکل 2.1 میں چارج Q_1 محدود کے مرکز سے سمتی فاصلہ r_1 پر جبکہ چارج Q_2 مرکز سے سمتی فاصلہ r_2 پر دکھائے گئے ہیں۔ چارج Q_1 سے چارج Q_2 تک کا سمتی فاصلہ R_{21} ہے جہاں

$$(2.8) \quad R_{21} = r_2 - r_1$$

کے برابر ہے۔ سمتیہ R_{21} کی سمت میں اکائی سمتیہ a_{21} یوں حاصل کیا جاتا ہے

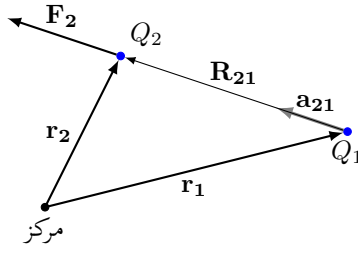
$$(2.9) \quad a_{21} = \frac{R_{21}}{|R_{21}|} = \frac{R_{21}}{R_{21}} = \frac{r_2 - r_1}{|r_2 - r_1|}$$

چارج Q_2 پر قوت F_2 کی حتمی قیمت مساوات 2.2 سے حاصل کی جاسکتی ہے جبکہ اس کی سمت اکائی سمتیہ a_{21} کے سمت میں ہوگی۔ اس طرح یہ قوت

$$(2.10) \quad \begin{aligned} F_2 &= \frac{1}{4\pi\epsilon_0} \frac{Q_1 Q_2}{R_{21}^2} a_{21} \\ &= \frac{Q_1 Q_2}{4\pi\epsilon_0} \frac{r_2 - r_1}{|r_2 - r_1|^3} \end{aligned}$$

لکھا جائے گا۔ مساوات 2.10 کولومب کے قانون کی سمتی شکل ہے۔ چونکہ دونوں چارجوں پر برابر مگر الٹ سمت میں قوت عمل کرتا ہے لہذا Q_1 پر قوت F_1 یوں لکھا جائے گا

$$(2.11) \quad \begin{aligned} F_1 &= -F_2 = \frac{-1}{4\pi\epsilon_0} \frac{Q_1 Q_2}{R_{21}^2} a_{21} \\ &= \frac{1}{4\pi\epsilon_0} \frac{Q_1 Q_2}{R^2} a_{12} \end{aligned}$$



شکل 2.1: دو مثبت چارجوں کے مابین قوت دفع

جہاں دوسری قدم پر $R_{21} = R_{12} = R$ لکھا گیا ہے اور $a_{12} = -a_{21}$ کے برابر ہے۔ دونوں چارج مثبت یا دونوں چارج منفی ہونے کی صورت میں Q_2 پر مساوات 2.10 سے قوت a_{21} کی سمت میں حاصل ہوتا ہے۔ یوں یکساں چارجوں کے مابین قوت دفع پایا جاتا ہے۔ دوالٹ اقسام کے چارجوں کی صورت میں Q_2 پر قوت $-a_{21}$ کی سمت میں حاصل ہوتا ہے۔ یوں الٹ اقسام کے چارجوں کے مابین قوت کشش پایا جاتا ہے۔

615

616

مثال 2.4: شکل 2.1 میں نقطہ $A(3, 2, 4)$ پر $20 \mu C$ کا چارج Q_1 جبکہ نقطہ $B(1, 5, 9)$ پر $50 \mu C$ کا چارج Q_2 پایا جاتا ہے۔ منفی چارج Q_2 پر سستی قوت حاصل کریں۔

618

حل:

$$\begin{aligned} \mathbf{R}_{21} &= (1 - 3)\mathbf{a}_x + (5 - 2)\mathbf{a}_y + (9 - 4)\mathbf{a}_z \\ &= -2\mathbf{a}_x + 3\mathbf{a}_y + 5\mathbf{a}_z \\ R_{21} &= |\mathbf{R}_{21}| = \sqrt{(-2)^2 + 3^2 + 5^2} \\ &= \sqrt{38} \\ &= 6.1644 \end{aligned}$$

اور یوں

$$\begin{aligned} \mathbf{a}_{21} &= \frac{\mathbf{R}_{21}}{|\mathbf{R}_{21}|} = \frac{-2\mathbf{a}_x + 3\mathbf{a}_y + 5\mathbf{a}_z}{6.1644} \\ &= -0.324\mathbf{a}_x + 0.487\mathbf{a}_y + 0.811\mathbf{a}_z \end{aligned}$$

حاصل ہوتا ہے جس سے

$$\begin{aligned} \mathbf{F}_2 &= \frac{36\pi \times 10^9}{4\pi} \frac{(-50 \times 10^{-6} \times 20 \times 10^{-6})}{38} (-0.324\mathbf{a}_x + 0.487\mathbf{a}_y + 0.811\mathbf{a}_z) \\ &= -0.237 (-0.324\mathbf{a}_x + 0.487\mathbf{a}_y + 0.811\mathbf{a}_z) \text{ N} \end{aligned}$$

حاصل ہوتا ہے۔ آپ دیکھ سکتے ہیں کہ قوت کی سمت \mathbf{a}_{21} کے الٹ سمت میں ہے۔ یوں منفی چارج پر قوت کی سمت مثبت چارج کی جانب ہے یعنی اس پر قوت کشش پایا جاتا ہے۔

619

621

کسی بھی چارج پر ایک سے زیادہ چارجوں سے پیدا مجموعی قوت تمام چارجوں سے پیدا علیحدہ علیحدہ قوتوں کا سمتی مجموعہ ہوتا ہے یعنی

$$(2.12) \quad F = \sum_{i=1}^n F_i$$

622

اس حقیقت کو یوں بیان کیا جاتا ہے کہ کولومب کا قانون **خطی**⁹ ہے۔

623

2.2 برقی میدان کی شدت

نیوٹن کے کائناتی تجاذب کے قانون میں زمین کی کمیت M لکھ کر کمیت m پر قوت F حاصل کی جاسکتی ہے۔ ایک کلو گرام کمیت پر اس قوت کی مقدار $\frac{F}{m}$ ہوگی جسے **زمین کی کشش**¹⁰ یا **ثقلی اسراع** پکارا اور g لکھا جاتا ہے۔ زمین کی سطح پر g کی مقدار تقریباً $\frac{9.8}{\text{m/s}^2}$ کے برابر ہے۔

$$(2.13) \quad g = \frac{F}{m} = \frac{GM}{R^2}$$

کسی بھی کمیت M کے گرد **تجاذبی میدان**¹¹ پایا جاتا ہے۔ کسی بھی نقطے پر اس تجاذبی میدان کو ناپنے کی خاطر اس نقطے پر پیمائشی کمیت m_p ¹² رکھ کر اس پر قوت ناپی جاتی ہے۔ مختلف مقامات پر اس طرح قوت ناپ کر ہم تجاذبی میدان کا جائزہ لے سکتے ہیں۔ تجاذبی قوت کی مقدار کا دار و مدار پیمائشی کمیت m_p ¹³ پر بھی منحصر ہے۔ مختلف تجاذبی میدانوں کا آپس میں موازنہ کرتے وقت یہ ضروری ہے کہ تمام تجاذبی میدان جانچنے وقت ایک ہی قیمت کے پیمائشی کمیت استعمال کی جائے۔ ماہرین طبیعیات عموماً m_p کو ایک کلو گرام رکھتے ہیں۔ یہ ضروری نہیں کہ تجاذبی قوت ناپنے وقت ایک کلو گرام کی پیمائشی کمیت ہی استعمال کی جائے البتہ جوابات اکٹھے کرتے وقت F کو m_p سے تقسیم کرتے ہوئے ایک کلو گرام پر تجاذبی قوت حاصل کی جاسکتی ہے۔ زمین کے قریب ایک کلو گرام کمیت پر قوت کشش کو ثقلی اسراع g پکارا جاتا ہے۔

629

630

مثال 2.5: زمین کی سطح پر دو سو گرام پیمائشی کمیت پر 1.96 N قوت ناپی جاتی ہے۔ ثقلی اسراع حاصل کریں۔

631

حل:

$$(2.14) \quad g = \frac{1.96}{0.2} = 9.8 \frac{\text{N}}{\text{kg}}$$

632

مساوات 2.13 سے ہم

$$(2.15) \quad \begin{aligned} F &= mg \\ w &= mg \end{aligned}$$

linear⁹gravity¹⁰gravitational field¹¹

¹² m_p لکھتے ہوئے زیر نوشت میں p لفظ پیمائشی کے پ کو ظاہر کرتا ہے، یعنی یہ وہ کمیت ہے جسے قوت کی پیمائش کی خاطر استعمال کیا جا رہا ہے۔

test mass¹³

لکھ سکتے ہیں جو زمین کی سطح پر کمیت m پر کشش ثقل F دیتا ہے جسے وزن پکارا اور w لکھا جاتا ہے۔

چار جوں پر بھی اسی طرح غور کیا جاتا ہے۔ کسی بھی چارج Q کے گرد برقی میدان پایا جاتا ہے یعنی برقی میدان کا منبع چارج ہے۔ اس برقی میدان میں چارج پر قوت اثر انداز ہوتا ہے۔ چارج Q کے برقی میدان کی شدت کے پیمائش کی خاطر اس میدان میں مختلف مقامات پر پیمائشی چارج q_p پر قوت F ناپ کر برقی میدان کا مطالعہ کیا جاسکتا ہے اور اس کا نقشہ بنایا جاسکتا ہے۔ مختلف چارجوں کے برقی میدانوں کا آپس میں موازنہ کرتے وقت یہ ضروری ہے کہ تمام صورتوں میں ایک ہی قیمت کے پیمائشی چارج استعمال کئے جائیں۔ ماہرین طبیعیات q_p کو ایک کولومب کا مثبت چارج رکھتے ہیں۔ یہ ضروری نہیں کہ قوت ناپتے وقت ایک کولومب کا مثبت پیمائشی چارج ہی استعمال کیا جائے البتہ جوابات اکٹھے کرتے وقت F کو q_p سے تقسیم کرتے ہوئے ایک مثبت کولومب پر قوت حاصل کی جاتی ہے جسے **برقی میدان کی شدت**¹⁵ یا صرف **برقی میدان** پکارا اور E لکھا جاتا ہے یعنی

$$(2.16) \quad E = \frac{F}{q_p}$$

مختلف مقامات پر موجود مختلف قیمتوں کے چارجوں سے کسی ایک نقطے پر پیدا برقی میدان تمام چارجوں کے مجموعی اثر سے پیدا ہوگا۔ ایسا کولومب کے قانون کے خطی ہونے کی بنا پر ہوتا ہے۔ کسی بھی نقطے پر n چارجوں کا مجموعی E تمام چارجوں کے علیحدہ علیحدہ پیدا کردہ E_1, E_2, E_3, \dots کا سستی مجموعہ

$$(2.17) \quad E = \sum_{i=1}^n E_i = E_1 + E_2 + E_3 + \dots + E_n$$

ہوتا ہے۔ یوں کسی بھی نقطے P پر ناپتے وقت اس نقطے پر ایک کولومب چارج q_p رکھ کر اس چارج پر قوت ناپی جاتی ہے۔ یہ قوت اس نقطے پر تمام چارجوں کا مجموعی E ہوتا ہے۔ یاد رہے کہ کسی بھی نقطے پر E ناپتے وقت یہاں رکھے پیمائشی چارج q_p کا اثر شامل نہیں ہوتا۔

مساوات 2.10 سے چارج Q سے a_R سمت میں R فاصلے پر برقی میدان کو

$$(2.18) \quad E = \frac{Q}{4\pi\epsilon_0} \frac{a_R}{R^2} = \frac{Q}{4\pi\epsilon_0} \frac{R}{R^3}$$

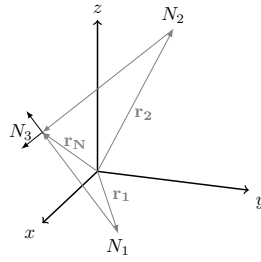
لکھا جاسکتا ہے۔ چارج کو کروی محدود کے مرکز پر تصور کرتے ہوئے اسی مساوات کو یوں لکھا جاسکتا ہے

$$(2.19) \quad E = \frac{Q}{4\pi\epsilon_0 r^2} a_r$$

جہاں a_r کروی محدود کا رداسی سمت میں اکائی سمتیہ ہے۔

نقطہ (x', y', z') پر موجود چارج Q سے نقطہ (x, y, z) پر برقی شدت یوں حاصل کی جاسکتی ہے۔

$$(2.20) \quad E = \frac{1}{4\pi\epsilon_0} \frac{Q}{|r - r'|^2} \frac{r - r'}{|r - r'|} = \frac{Q}{4\pi\epsilon_0} \frac{r - r'}{|r - r'|^3} = \frac{Q}{4\pi\epsilon_0} \frac{[(x - x')a_x + (y - y')a_y + (z - z')a_z]}{[(x - x')^2 + (y - y')^2 + (z - z')^2]^{\frac{3}{2}}}$$



شکل 2.2: دو چارجوں سے پیدا برقی شدت

جہاں

$$\mathbf{r} = x\mathbf{a}_x + y\mathbf{a}_y + z\mathbf{a}_z$$

$$\mathbf{r}' = x'\mathbf{a}_x + y'\mathbf{a}_y + z'\mathbf{a}_z$$

$$\mathbf{R} = \mathbf{r} - \mathbf{r}' = (x - x')\mathbf{a}_x + (y - y')\mathbf{a}_y + (z - z')\mathbf{a}_z$$

کے برابر ہے۔

637

مثال 2.6: نقطہ $N_1(4, 1, 1)$ پر $100 \mu\text{C}$ کا چارج Q_1 جبکہ نقطہ $N_2(1, 4, 2)$ پر $50 \mu\text{C}$ کا چارج Q_2 پایا جاتا ہے۔ نقطہ $N_3(2, 2, 5)$ پر Q_1 سے پیدا E_1 چارج E_2 سے پیدا E_2 حاصل کریں۔ اس نقطے پر دونوں چارجوں کا مجموعی E کیا ہوگا۔

639

حل: شکل 2.2 میں صورت حال دکھایا گیا ہے۔ پہلے Q_1 سے پیدا E_1 حاصل کرتے ہیں۔ N_1 سے N_3 تک سمتی فاصلہ

$$\begin{aligned} \mathbf{R}_{31} = \mathbf{R}_3 - \mathbf{R}_1 &= (2 - 4)\mathbf{a}_x + (2 - 1)\mathbf{a}_y + (5 - 1)\mathbf{a}_z \\ &= -2\mathbf{a}_x + 1\mathbf{a}_y + 4\mathbf{a}_z \end{aligned}$$

ہے جس سے

$$\begin{aligned} R_{31} &= |\mathbf{R}_{31}| = \sqrt{(-2)^2 + 1^2 + 4^2} \\ &= \sqrt{21} = 4.583 \\ \mathbf{a}_{31} &= \frac{\mathbf{R}_{31}}{R_{31}} = \frac{-2\mathbf{a}_x + 1\mathbf{a}_y + 4\mathbf{a}_z}{\sqrt{21}} \\ &= -0.436\mathbf{a}_x + 0.218\mathbf{a}_y + 0.873\mathbf{a}_z \end{aligned}$$

حاصل ہوتے ہیں۔ یوں مساوات 2.18 سے

$$\begin{aligned} \mathbf{E}_1 &= 9 \times 10^9 \frac{100 \times 10^{-6}}{21} \left(-0.436\mathbf{a}_x + 0.218\mathbf{a}_y + 0.873\mathbf{a}_z \right) \\ &= -18\,686\mathbf{a}_x + 9343\mathbf{a}_y + 37\,414\mathbf{a}_z \quad \frac{\text{V}}{\text{m}} \end{aligned}$$

حاصل ہوتا ہے جہاں مساوات 2.7 سے $\frac{1}{4\pi\epsilon_0}$ کی قیمت 9×10^9 پر کی گئی۔ اسی طرح Q_2 کے لئے حل کرتے ہوئے

$$\begin{aligned} \mathbf{R}_{32} &= (2 - 1)\mathbf{a}_x + (2 - 4)\mathbf{a}_y + (5 - 2)\mathbf{a}_z \\ &= 1\mathbf{a}_x - 2\mathbf{a}_y + 3\mathbf{a}_z \end{aligned}$$

$$R_{32} = |\mathbf{R}_{32}| = \sqrt{1^2 + 2^2 + 3^2} = \sqrt{14}$$

$$a_{32} = \frac{1a_x - 2a_y + 3a_z}{\sqrt{14}}$$

$$= 0.267a_x - 0.535a_y + 0.802a_z$$

سے

$$E_2 = 9 \times 10^9 \frac{50 \times 10^{-6}}{14} (0.267a_x - 0.535a_y + 0.802a_z)$$

$$= 8582a_x - 17196a_y + 25779a_z \quad \frac{V}{m}$$

ملتا ہے۔ ان دو جوابات کا سمتی مجموعہ لیتے ہوئے کل E حاصل کرتے ہیں۔

$$E = E_1 + E_2$$

$$= (-18686a_x + 9343a_y + 37414a_z) + (8582a_x - 17196a_y + 25779a_z)$$

$$= -10104a_x - 7853a_y + 63193a_z \quad \frac{V}{m}$$

640

مساوات 2.16 کو

$$(2.21) \quad F = qE$$

641

لکھا جاسکتا ہے جو برقی میدان E کے موجودگی میں چارج q پر قوت F دیتا ہے۔

642

2.3 یکساں چارج بردار سیدھی لامحدود لکیر کا برقی میدان

شکل 2.3 میں z محور پر $z = -\infty$ سے $z = +\infty$ تک یکساں چارج کی کثافت پائی جاتی ہے۔ آپ تصور کر سکتے ہیں کہ z محور پر انتہائی قریب قریب برابر فاصلے پر یکساں نقطہ چارج رکھے گئے ہیں۔ یوں اگر ΔL لمبائی میں کل ΔQ چارج پایا جائے تب اکائی لمبائی میں $\frac{\Delta Q}{\Delta L}$ چارج پایا جائے گا جسے **لکیری چارج کثافت** ρ_L ¹⁶ کہا جاتا ہے اور جس کی اکائی C/m ہے۔ لکیری چارج کثافت کی تعریف

$$(2.22) \quad \rho_L = \lim_{\Delta L \rightarrow 0} \frac{\Delta Q}{\Delta L}$$

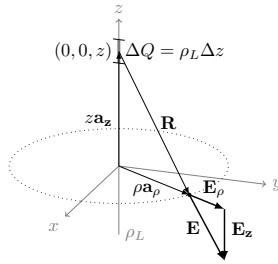
ہے۔ لکیر پر چھوٹی لمبائی اتنی کم نہیں کی جاتی کہ چارج بردار الیکٹران علیحدہ علیحدہ نظر آئیں اور لکیری کثافت کی جگہ نقطہ چارج نظر آئیں۔ اگر لکیر چارج کی تقسیم ہر جگہ یکساں نہ ہو تب لکیری چارج کثافت متغیر ہوگی۔ آئیں یکساں لکیری چارج کثافت سے خالی خلاء میں پیدا برقی میدان پر غور کریں۔

644

پہلے بغیر قلم اٹھائے اس مسئلے کی نوعیت پر توجہ دیتے ہیں۔ مقام $(0, 0, z)$ پر چھوٹی سی لمبائی Δz میں $\rho_L \Delta z$ چارج پایا جاتا ہے جسے نقطہ چارج تصور کرتے ہوئے آگے بڑھتے ہیں۔ z محور کے گرد xy سطح پر شکل 2.3 میں نقطہ دار گول دائرہ بنایا گیا ہے۔ نقطہ چارج $\rho_L \Delta z$ سے دائرے پر کسی بھی مقام پر پیدا برقی

¹⁶ line charge density

¹⁷ اس کتاب میں رداس کے لئے بھی ρ استعمال کیا جاتا ہے۔ ρ کو جب بھی کثافت کے لئے استعمال کیا جائے، اس کے زیر نوشت میں S ، L یا h لکھا جائے گا۔



شکل 2.3: یکساں چارج بردار سیدھی لامحدود لکیر کا برقی میدان

میدان پر غور کرتے ہیں۔ برقی میدان کی مقدار کا دار و مدار میدان پیدا کرنے والے چارج اور چارج سے فاصلے پر ہے۔ نقطہ دار لکیر پر پائے جانے والے تمام نقطوں کا $(0, 0, z)$ سے فاصلہ برابر ہے۔ یوں ہم توقع کرتے ہیں کہ اس دائرے پر برقی میدان کی شدت کی حتمی قیمت ہر جگہ برابر ہوگی۔ اس کو یوں بھی بیان کیا جاسکتا ہے کہ چارج کی نقطہ نظر سے نقطہ دار لکیر پر تمام نقطے بالکل یکساں نظر آتے ہیں۔ اس مشابہت سے ہم کہہ سکتے ہیں کہ نقطہ دار دائرے پر ہر جگہ برقی میدان یکساں ہوگا۔

آئیں شکل 2.3 کو دیکھتے ہوئے ایک اور مشابہت پر غور کرتے ہیں۔ چونکہ E سمتی فاصلہ R کی سمت میں ہوتا ہے لہذا دائرے پر کسی بھی نقطے پر نقطہ چارج $\rho_L \Delta z$ سے پیدا E کے دو اجزاء پائے جائیں گے یعنی

$$(2.23) \quad E = E_\rho + E_z$$

مثبت ρ_L کی صورت میں $(0, 0, z)$ پر موجود چارج سے E_z کی سمت منفی z جانب ہوگی۔ اسی طرح $(0, 0, -z)$ پر پائے جانے والے مثبت چارج سے دائرے پر پیدا E کی سمت مثبت z جانب ہوگی۔ دائرے پر یہ دونوں ارکان ایک دونوں کو ختم کریں گے۔ اسی عمل سے دائرے پر کسی بھی نقطے پر مثبت z محدود کسی بھی فاصلے پر پائے جانے والے چارج سے پیدا E_z کے اثر کو منفی z محدود پر اتنے ہی فاصلے پر چارج سے پیدا E_z ختم کرتا ہے۔ یوں دائرے پر

$$(2.24) \quad E_z = 0$$

ہوگا۔

ایک آخری مشابہت پر اب غور کرتے ہیں۔ اگر نقطہ دار دائرے کو z محدود پر مثبت یا منفی جانب لے جایا جائے تو کیا ہوگا؟ اب بھی دائرے کے ایک جانب کسی بھی فاصلے پر چارج کا اثر دائرے کے دوسری جانب اتنے ہی فاصلے پر چارج ختم کرے گا۔ یوں دائرے کے ایک جانب یعنی z محدود پر ∞ تک فاصلے پر چارجوں کے E_z کو دائرے کی دوسری جانب z محدود پر ∞ تک فاصلے پر چارجوں کا E_z ختم کرے گا اور یوں خلاء میں ہر جگہ مساوات 2.24 درست ثابت ہوتا ہے۔ اس حقیقت کو یوں بہتر بیان کیا جاسکتا ہے کہ لامحدود لکیر پر یکساں کثافت چارج سے خلاء میں برقی میدان صرف رداس کی سمت میں پیدا ہوگا۔ آئیں اس E کو حاصل کریں۔

شکل 2.3 میں مقام z پر نقطہ چارج $\rho_L \Delta z$ دائرے پر ΔE پیدا کرتا ہے۔ محدود کے مرکز سے نقطہ چارج کا مقام سمتیہ $z a_z$ سے ظاہر کیا جاسکتا ہے جبکہ دائرے پر کسی بھی نقطے N کو سمتیہ ρa_ρ ظاہر کرتا ہے۔ یوں نقطہ چارج سے N تک کا سمتی فاصلہ اور اسی سمت میں اکائی سمتیہ یوں حاصل کئے جائیں گے۔

$$\begin{aligned} \mathbf{R} &= \rho \mathbf{a}_\rho - z \mathbf{a}_z \\ |\mathbf{R}| &= R = \sqrt{\rho^2 + z^2} \\ \mathbf{a}_R &= \frac{\mathbf{R}}{|\mathbf{R}|} = \frac{\rho \mathbf{a}_\rho - z \mathbf{a}_z}{\sqrt{\rho^2 + z^2}} \end{aligned}$$

مساوات 2.19 سے

$$\begin{aligned} \Delta E &= \frac{\rho_L \Delta z}{4\pi\epsilon_0 (\rho^2 + z^2)} \frac{\rho \mathbf{a}_\rho - z \mathbf{a}_z}{\sqrt{\rho^2 + z^2}} \\ &= \frac{\rho_L \Delta z (\rho \mathbf{a}_\rho - z \mathbf{a}_z)}{4\pi\epsilon_0 (\rho^2 + z^2)^{\frac{3}{2}}} \end{aligned}$$

حاصل ہوتا ہے۔ تمام چارجوں کے اثرات کو یکجا کرنے کی خاطر مندرجہ بالا مساوات کو تکمیل کی شکل دے کر مندرجہ ذیل مساوات میں دکھایا گیا ہے۔ تکملہ کے حدود $-\infty$ اور $+\infty$ ہیں۔

$$(2.25) \quad \mathbf{E} = \int d\mathbf{E} = \int_{-\infty}^{+\infty} \left[\frac{\rho_L (\rho \mathbf{a}_\rho - z \mathbf{a}_z)}{4\pi\epsilon_0 (\rho^2 + z^2)^{\frac{3}{2}}} \right] dz$$

اس تکمیل کو یوں لکھا جاسکتا ہے

$$(2.26) \quad \mathbf{E} = \frac{\rho_L \rho \mathbf{a}_\rho}{4\pi\epsilon_0} \int_{-\infty}^{+\infty} \frac{dz}{(\rho^2 + z^2)^{\frac{3}{2}}} - \frac{\rho_L \mathbf{a}_z}{4\pi\epsilon_0} \int_{-\infty}^{+\infty} \frac{z dz}{(\rho^2 + z^2)^{\frac{3}{2}}}$$

جہاں مساوات کی نشان کے دائیں جانب پہلا تکمیل E_ρ اور دوسرا تکمیل E_z دیتا ہے یعنی

$$(2.27) \quad \begin{aligned} E_\rho &= \frac{\rho_L \rho \mathbf{a}_\rho}{4\pi\epsilon_0} \int_{-\infty}^{+\infty} \frac{dz}{(\rho^2 + z^2)^{\frac{3}{2}}} \\ E_z &= -\frac{\rho_L \mathbf{a}_z}{4\pi\epsilon_0} \int_{-\infty}^{+\infty} \frac{z dz}{(\rho^2 + z^2)^{\frac{3}{2}}} \end{aligned}$$

مساوات 2.24 کی مدد سے ہم دیکھ سکتے ہیں کہ دوسرا تکملہ صفر جواب دیگا۔ آئیں دونوں تکمیل کو باری باری حل کریں۔ پہلے E_ρ حل کرتے ہیں۔ اس مساوات میں

$$z = \rho \tan \alpha$$

استعمال کرتے ہیں۔ ایسا کرتے ہوئے تکمیل کا ابتدائی حد

$$-\infty = \rho \tan \alpha_{\text{ابتدائی}}$$

$$\alpha_{\text{ابتدائی}} = -\frac{\pi}{2}$$

اور اختتامی حد

$$\infty = \rho \tan \alpha_{\text{اختتامی}}$$

$$\alpha_{\text{اختتامی}} = \frac{\pi}{2}$$

حاصل ہوتے ہیں۔ مزید

$$dz = \rho \sec^2 \alpha d\alpha$$

لکھا جائے گا۔ یوں

$$\begin{aligned} E_\rho &= \frac{\rho_L \rho \mathbf{a}_\rho}{4\pi\epsilon_0} \int_{-\frac{\pi}{2}}^{+\frac{\pi}{2}} \frac{\rho \sec^2 \alpha d\alpha}{(\rho^2 + \rho^2 \tan^2 \alpha)^{\frac{3}{2}}} \\ &= \frac{\rho_L \rho \mathbf{a}_\rho}{4\pi\epsilon_0} \int_{-\frac{\pi}{2}}^{+\frac{\pi}{2}} \frac{\rho \sec^2 \alpha d\alpha}{\rho^3 (1 + \tan^2 \alpha)^{\frac{3}{2}}} \end{aligned}$$

لکھا جائے گا جس میں

$$1 + \tan^2 \alpha = \sec^2 \alpha$$

استعمال کرتے ہوئے

$$\begin{aligned} E_\rho &= \frac{\rho_L \rho a_\rho}{4\pi\epsilon_0} \int_{-\frac{\pi}{2}}^{+\frac{\pi}{2}} \frac{\rho \sec^2 \alpha \, d\alpha}{\rho^3 \sec^3 \alpha} \\ &= \frac{\rho_L a_\rho}{4\pi\epsilon_0 \rho} \int_{-\frac{\pi}{2}}^{+\frac{\pi}{2}} \cos \alpha \, d\alpha \\ &= \frac{\rho_L a_\rho}{4\pi\epsilon_0 \rho} \sin \alpha \Bigg|_{-\frac{\pi}{2}}^{+\frac{\pi}{2}} \\ &= \frac{\rho_L}{2\pi\epsilon_0 \rho} a_\rho \end{aligned} \quad (2.28)$$

ملتا ہے جہاں دوسری قدم پر $\sec \alpha = \frac{1}{\cos \alpha}$ کا استعمال کیا گیا۔

آئیں اب مساوات 2.27 کے دوسرے جزو کو حل کریں۔ اس میں بھی $z = \rho \tan \alpha$ استعمال کرتے ہیں۔ یوں

$$\begin{aligned} E_z &= -\frac{\rho_L a_z}{4\pi\epsilon_0} \int_{-\infty}^{+\infty} \frac{z \, dz}{(\rho^2 + z^2)^{\frac{3}{2}}} \\ &= -\frac{\rho_L a_z}{4\pi\epsilon_0} \int_{-\frac{\pi}{2}}^{+\frac{\pi}{2}} \frac{\rho^2 \tan \alpha \sec^2 \alpha \, d\alpha}{(\rho^2 + \rho^2 \tan^2 \alpha)^{\frac{3}{2}}} \\ &= -\frac{\rho_L a_z}{4\pi\epsilon_0 \rho} \int_{-\frac{\pi}{2}}^{+\frac{\pi}{2}} \frac{\tan \alpha \sec^2 \alpha \, d\alpha}{(1 + \tan^2 \alpha)^{\frac{3}{2}}} \end{aligned}$$

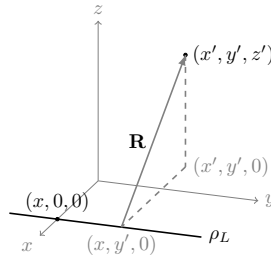
سے

$$\begin{aligned} E_z &= -\frac{\rho_L a_z}{4\pi\epsilon_0 \rho} \int_{-\frac{\pi}{2}}^{+\frac{\pi}{2}} \frac{\tan \alpha \sec^2 \alpha \, d\alpha}{\sec^3 \alpha} \\ &= -\frac{\rho_L a_z}{4\pi\epsilon_0 \rho} \int_{-\frac{\pi}{2}}^{+\frac{\pi}{2}} \sin \alpha \, d\alpha \\ &= \frac{\rho_L a_z}{4\pi\epsilon_0 \rho} \cos \alpha \Bigg|_{-\frac{\pi}{2}}^{+\frac{\pi}{2}} \\ &= 0 \end{aligned} \quad (2.29)$$

ملتا ہے۔ یہی جواب مساوات 2.24 میں حاصل کیا گیا تھا۔

مساوات 2.28 اور مساوات 2.29 سے مساوات 2.26 کا حل یوں لکھا جائے گا

$$E = E_\rho = \frac{\rho_L}{2\pi\epsilon_0 \rho} a_\rho \quad (2.30)$$



شکل 2.4: کسی بھی سمت میں لامحدود لکیر پر چارج کی مثال

جس کے مطابق لامحدود سیدھی لکیر پر یکساں چارج سے برقی میدان رداس ρ کے بالعکس متناسب ہے۔ اس نتیجے کا مساوات 2.19 کے ساتھ موازنہ کریں جو نقطہ چارج کی برقی میدان بیان کرتا ہے۔ نقطہ چارج کا برقی میدان کروی رداس کے مربع کے بالعکس متناسب ہے۔ یوں اگر لامحدود لکیر کے چارج سے فاصلہ دگنا کر دیا جائے تو برقی میدان آدھا ہو جائے گا جبکہ نقطہ چارج سے فاصلہ دگنا کرنے سے برقی میدان چارگنا کم ہوتا ہے۔

660

کسی بھی سمت میں لامحدود سیدھی لکیر پر چارج کا برقی میدان مساوات 2.30 میں بیان خوبیوں پر پورا اترے گا۔ ایسی صورت میں کسی بھی نقطہ پر E حاصل کرنے کی خاطر اس نقطہ سے چارج کے لکیر تک کم سے کم فاصلہ R حاصل کریں۔ یہ فاصلہ نقطہ سے لکیر پر عمود کھینچنے سے حاصل ہو گا۔ اس فاصلے کو ρ تصور کریں۔ لکیر سے عمودی سمت میں نقطہ کی جانب اکائی سمتیہ a_R کو a_ρ تصور کریں۔ ایسی صورت میں مساوات 2.30 کو

$$E = \frac{\rho_L}{2\pi\epsilon_0 R} a_R \quad (2.31)$$

661

لکھ سکتے ہیں۔

مثال 2.7: y محدد کے متوازی اور $(x, 0, 0)$ سے گزرتی لامحدود لکیر پر ρ_L کثافت کا چارج پایا جاتا ہے۔ نقطہ (x', y', z') پر E حاصل کریں۔

662

حل: شکل 2.4 میں صورت حال دکھایا گیا ہے۔ (x', y', z') سے چارج کے لکیر پر عمود $(x, y', 0)$ پر ٹکراتا ہے۔ ان دو نقطوں کا آپس میں فاصلہ $\sqrt{(x' - x)^2 + z^2}$ ہے جبکہ

$$R = (x' - x)a_x + za_z$$

$$a_R = \frac{(x' - x)a_x + za_z}{\sqrt{(x' - x)^2 + z^2}}$$

ہیں۔ یوں

$$E = \frac{\rho_L}{2\pi\epsilon_0 \sqrt{(x' - x)^2 + z^2}} a_R$$

663

ہو گا۔

664

665

مشق 2.1: y محدد پر $-\infty$ سے $+\infty$ تک $10 \frac{nC}{m}$ چارج کی کثافت پائی جاتی ہے۔ نقطہ $N_1(0, 0, 6)$ اور نقطہ $N_2(0, 8, 6)$ پر E حاصل کریں۔

666

جواب: دونوں نقطوں پر $E = 30a_z$ کے برابر ہے۔

667

668

669

مشق 2.2: x محور پر $-\infty$ سے $+\infty$ تک $5 \frac{nC}{m}$ چارج کی کثافت پائی جاتی ہے۔ نقطہ $N_1(0, 5, 0)$ اور نقطہ $N_2(7, 3, 4)$ پر E حاصل کریں۔

670

جوابات: $E_2 = 18 \left(\frac{3a_y + 4a_z}{5} \right) \frac{V}{m}$ اور $E_1 = 18a_z \frac{V}{m}$

671

672

2.4 یکساں چارج بردار ہموار لامحدود سطح

673

شکل 2.5 میں $z = 0$ پر لامحدود $x - y$ سطح دکھائی گئی ہے۔ تصور کریں کہ اس پوری سطح پر انتہائی قریب قریب نقطہ چارج یوں رکھے گئے ہیں کہ سطح پر کہیں بھی چھوٹی رقبہ ΔS پر یکساں قیمت کا چارج ΔQ پایا جاتا ہے۔ اس طرح اکائی رقبہ پر کل $\frac{\Delta Q}{\Delta S}$ چارج پایا جائے گا جسے **سطحی چارج کثافت** ρ_s کہتے ہیں۔ سطحی چارج کثافت کی تعریف

$$(2.32) \quad \rho_s = \lim_{\Delta S \rightarrow 0} \frac{\Delta Q}{\Delta S}$$

ہے۔ چھوٹی سطح اتنی کم نہیں لی جاتی کہ اس پر چارج بردار الیکٹران علیحدہ علیحدہ بطور نقطہ چارج نظر آئیں بلکہ اسے اتنا رکھا جاتا ہے کہ علیحدہ علیحدہ الیکٹران کا اثر قابل نظر انداز ہو۔ سطح پر ہر جگہ چارج کا تقسیم یکساں نہ ہونے کی صورت میں ρ_s کی قیمت متغیر ہوگی۔ آئیں لامحدود سطح پر یکساں چارج کثافت سے خالی خلاء میں پیدا E حاصل کریں۔

676

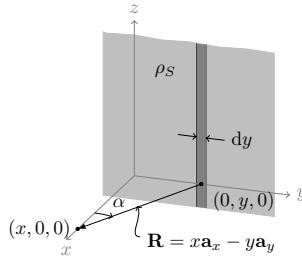
پہلے غور کرتے ہیں کہ آیا مختلف مقامات سے دیکھتے ہوئے کچھ اخذ کرنا ممکن ہے۔ اگر اس چارج بردار سطح کے سامنے ہم کھڑے ہو جائیں تو ہمیں سامنے لامحدود چارج بردار سطح نظر آئے گی۔ سطح سے برابر فاصلے پر ہم جہاں بھی جائیں ہمیں صورت حال میں کوئی تبدیلی نظر نہیں آئے گی۔ اسی طرح اگر ہم سطح کی دوسری طرف اتنے ہی فاصلے پر چلے جائیں تو ہمیں صورت حال میں کسی قسم کی کوئی تبدیلی نظر نہیں آئے گی۔ اس مشاہدہ سے ہم کہہ سکتے ہیں کہ ایسی سطح سے برابر فاصلے پر تمام نقطوں پر یکساں برقی میدان پایا جائے گا۔ اس کے برعکس اگر ہم اس سطح سے دور ہو جائیں تو ہمیں سطح قدر دور نظر آئے گی اور ہو سکتا ہے کہ اس تبدیلی سے E پر اثر ہو۔ آئیں اب مسئلے کو حساب و کتاب سے حل کرتے ہوئے E حاصل کریں۔

681

شکل 2.5 میں چارج بردار سطح پر z محور کے متوازی دو انتہائی قریب قریب لکیریں کھینچی گئی ہیں جن کے مابین فاصلہ dy ہے۔ اس گھیرے گئے رقبے کی چوڑائی ΔL لمبائی اور dy چوڑائی رقبے میں $\rho_s \Delta L dy$ چارج پایا جائے گا۔ لکیروں سے گھیرے رقبے کو چارج کی سیدھی لکیر تصور کیا جاسکتا ہے جس پر اکائی لمبائی کے رقبے پر $\frac{\rho_s \Delta L dy}{\Delta L}$ چارج پایا جائے گا جسے ρ_L تصور کیا جاسکتا ہے یعنی

(2.33)

$$\rho_L = \rho_s dy$$



شکل 2.5: یکساں چارج بردار بموار لامحدود سطح

لامحدود لکیر پر یکساں چارج کی کثافت سے پیدا برقی میدان پر گزشتہ حصے میں غور کیا گیا۔ نقطہ $(x, 0, 0)$ پر E حاصل کرتے ہیں۔ شکل میں لامحدود چارج کی لکیر سے اس نقطے تک کا قریبی سمتی فاصلہ R دکھایا گیا ہے جہاں

$$(2.34) \quad \mathbf{R} = x\mathbf{a}_x - y\mathbf{a}_y$$

کے برابر ہے جس سے

$$(2.35) \quad R = |\mathbf{R}| = \sqrt{x^2 + y^2}$$

$$\mathbf{a}_R = \frac{x\mathbf{a}_x - y\mathbf{a}_y}{\sqrt{x^2 + y^2}}$$

حاصل ہوتے ہیں۔ یوں چارج بردار لکیر سے $(x, 0, 0)$ پر پیدا برقی میدان کو مساوات 2.31 کی مدد سے

$$(2.36) \quad d\mathbf{E} = \frac{\rho_S dy}{2\pi\epsilon_0 \sqrt{x^2 + y^2}} \frac{x\mathbf{a}_x - y\mathbf{a}_y}{\sqrt{x^2 + y^2}}$$

$$= \frac{\rho_S dy (x\mathbf{a}_x - y\mathbf{a}_y)}{2\pi\epsilon_0 (x^2 + y^2)}$$

لکھا جاسکتا ہے۔ اس جواب کو $d\mathbf{E} = dE_x + dE_y$ لکھا جاسکتا ہے جہاں

$$(2.37) \quad dE_x = \frac{\rho_S x dy}{2\pi\epsilon_0 (x^2 + y^2)} \mathbf{a}_x$$

$$dE_y = -\frac{\rho_S y dy}{2\pi\epsilon_0 (x^2 + y^2)} \mathbf{a}_y$$

کے برابر ہیں۔ x محدد کے ایک جانب چارج بردار لکیر مندرجہ بالا برقی میدان پیدا کرتا ہے۔ غور کرنے سے معلوم ہوتا ہے کہ x محدد کے دوسری جانب اتنے ہی فاصلے پر چارج بردار لکیر سے پیدا برقی میدان مندرجہ بالا dE_y کو ختم کرے گا۔ یوں کسی بھی مثبت y پر کھینچی لکیر کے dE_y کو منفی y پر کھینچی لکیر کا dE_y ختم کرے گا۔ x محدد کے دونوں جانب مسئلے کی مشابہت سے یوں ہم توقع کرتے ہیں کہ

$$(2.38) \quad E_y = 0$$

ہو گا۔

آئیں اب حساب و کتاب سے مساوات 2.37 کو حل کریں۔ پہلے E_x حاصل کرتے ہیں۔ مساوات 2.37 میں دئے dE_x کا مکمل لیتے ہیں۔ ایسا کرنے کی خاطر

$$(2.39) \quad y = x \tan \alpha$$

$$dy = x \sec^2 \alpha d\alpha$$

کا استعمال کرتے ہیں۔ شکل 2.5 میں α کی نشاندہی کی گئی ہے۔ یوں

$$\begin{aligned} E_x &= \int dE_x = \frac{\rho_S x a_x}{2\pi\epsilon_0} \int_{y=-\infty}^{y=+\infty} \frac{dy}{(x^2 + y^2)} \\ &= \frac{\rho_S x a_x}{2\pi\epsilon_0} \int_{\alpha=-\frac{\pi}{2}}^{\alpha=+\frac{\pi}{2}} \frac{x \sec^2 \alpha d\alpha}{x^2 (1 + \tan^2 \alpha)} \end{aligned}$$

میں $\sec^2 \alpha = 1 + \tan^2 \alpha$ کے استعمال سے

$$\begin{aligned} E_x &= \frac{\rho_S a_x}{2\pi\epsilon_0} \int_{\alpha=-\frac{\pi}{2}}^{\alpha=+\frac{\pi}{2}} d\alpha \\ &= \frac{\rho_S a_x}{2\pi\epsilon_0} \alpha \Big|_{-\frac{\pi}{2}}^{+\frac{\pi}{2}} \\ &= \frac{\rho_S}{2\epsilon_0} a_x \end{aligned} \quad (2.40)$$

حاصل ہوتا ہے۔ آئیں اب E_y حاصل کریں۔

مساوات 2.37 میں دئے dE_y کا مکمل لیتے ہیں۔

$$E_y = \int dE_y = -\frac{\rho_S a_y}{2\pi\epsilon_0} \int_{y=-\infty}^{y=+\infty} \frac{y dy}{(x^2 + y^2)}$$

مکمل کے نشان کے اندر $f(y) = x^2 + y^2$ لیتے ہوئے اسے $\frac{df(y)}{2f(y)}$ لکھا جاسکتا ہے جس کا مکمل $\frac{\ln f(y)}{2}$ ہے۔ یوں

$$\begin{aligned} E_y &= -\frac{\rho_S a_y}{2\pi\epsilon_0} \frac{\ln(x^2 + y^2)}{2} \Big|_{y=-\infty}^{y=+\infty} \\ &= 0 \end{aligned} \quad (2.41)$$

حاصل ہوتا ہے۔ مساوات 2.38 میں یہی جواب حاصل کیا گیا تھا۔

مساوات 2.40 اور مساوات 2.41 کی مدد سے یکساں چارج بردار لامحدود سطح کی برقی میدان

$$\mathbf{E} = \frac{\rho_S}{2\epsilon_0} \mathbf{a}_N \quad (2.42)$$

لکھی جاسکتی ہے جہاں \mathbf{a}_N اس سطح کا عمودی اکائی سمتیہ ہے۔ آپ دیکھ سکتے ہیں کہ سطح سے فاصلہ کم یا زیادہ کرنے سے برقی میدان کی شدت پر کوئی اثر نہیں ہوتا۔⁶⁸⁶ کے دونوں جانب برقی میدان اسی مساوات سے حاصل کی جائے گی۔ ظاہر ہے کہ سطح کے دونوں جانب کے اکائی عمودی سمتیہ آپس میں الٹ ہیں۔

اب تصور کریں کہ اس سطح کے متوازی $x_1 = x$ پر ایک اور لامحدود سطح رکھی جائے جس پر چارج کی یکساں کثافت $-\rho_S$ ہو۔ ان دو متوازی سطحوں کو دو دھاتی چادروں سے بنایا گیا کیپیسٹر¹⁹ سمجھا جاسکتا ہے۔ کسی بھی نقطے پر کل E دونوں سطحوں پر چارج سے پیدا برقی میدان کا مجموعہ ہوگا۔ پہلے دونوں سطحوں کے دھنوں جانب برقی میدان لکھتے ہیں۔

• $\rho_s \text{ پر } x = 0$ + کثافت کی سطح کا برقی میدان۔

$$E_{x>0}^+ = + \frac{\rho_s}{2\epsilon_0} a_x \quad x > 0$$

$$E_{x<0}^+ = - \frac{\rho_s}{2\epsilon_0} a_x \quad x < 0$$

• $\rho_s \text{ پر } x = x_1$ - کثافت کی سطح کا برقی میدان۔

$$E_{x>x_1}^- = - \frac{\rho_s}{2\epsilon_0} a_x \quad x > x_1$$

$$E_{x<x_1}^- = + \frac{\rho_s}{2\epsilon_0} a_x \quad x < x_1$$

ان نتائج کو استعمال کرتے ہوئے $0 < x < x_1$ اور $x > x_1$ ، $x < 0$ خطوں میں برقی میدان حاصل کرتے ہیں۔

$$\begin{aligned} E_{x<0} &= E_{x<0}^+ + E_{x<x_1}^- = - \frac{\rho_s}{2\epsilon_0} a_x + \frac{\rho_s}{2\epsilon_0} a_x = 0 \\ E_{x>x_1} &= E_{x>0}^+ + E_{x>x_1}^- = + \frac{\rho_s}{2\epsilon_0} a_x - \frac{\rho_s}{2\epsilon_0} a_x = 0 \\ E_{0<x<x_1} &= E_{x>0}^+ + E_{x<x_1}^- = + \frac{\rho_s}{2\epsilon_0} a_x + \frac{\rho_s}{2\epsilon_0} a_x = \frac{\rho_s}{\epsilon_0} a_x \end{aligned} \quad (2.43)$$

اس نتیجے کے مطابق دو متوازی لامحدود سطحوں جن پر الٹ یکساں کثافت پائی جائے کے باہر کوئی برقی میدان نہیں پایا جاتا جبکہ سطحوں کے درمیانی خطے میں

$$E = \frac{\rho_s}{\epsilon_0} a_x \quad (2.44)$$

برقی میدان پایا جاتا ہے۔ اس میدان کی سمت مثبت چارج بردار چادر سے منفی چارج بردار چادر کی جانب ہوتی ہے۔ یہی مساوات ایک ایسے کپیسٹر کے برقی میدان کے لئے بھی استعمال کیا جاسکتا ہے جس میں دھاتی چادروں کی لمبائی اور چوڑائی دونوں چادروں کے درمیانی فاصلے سے کئی گنا زیادہ ہو اور چادروں کے درمیان خالی خلاء یا ہوا پائی جائے۔ چادروں کے کناروں کے قریب کپیسٹر کے اندر اور باہر صورت حال قدر مختلف ہوگی۔

692

مثال 2.8: خلاء میں تین متوازی لامحدود سطح پائے جاتے ہیں جن پر چارج کی یکساں کثافت پائی جاتی ہے۔ پہلی سطح $y = 2$ پر 2 nC/m^2 ، دوسری سطح $y = 4$ پر 4 nC/m^2 اور تیسری سطح $y = 10$ پر -6 nC/m^2 کثافت پائی جاتی ہے۔ $N_1(0, 0, 0)$ ، $N_2(5, 3, 4)$ ، $N_3(-2, 7, 11)$ اور $N_4(-7, 30, 22)$ کے درمیان خالی خلاء یا ہوا پائی جائے۔ چادروں کے کناروں کے قریب کپیسٹر کے اندر اور باہر صورت حال قدر مختلف ہوگی۔

695

جوابات: $0, 144\pi a_y, 216\pi a_y$ اور 0

696

697

ہم نقطہ چارج، لا محدود لکیر پر چارج اور لا محدود سطح پر چارج دیکھ چکے ہیں۔ اگلا فطری قدم چارج بردار حجم بنتا ہے لہذا اسی پر غور کرتے ہیں۔ لکیر اور سطح کے چارج پر غور کرتے ہوئے ہر جگہ یکساں کثافت کی بات کی گئی۔ حجم میں چارج کی بات کرتے ہوئے اس شرط کو دور کرتے ہوئے کثافت کو متغیر تصور کرتے ہیں۔ یوں مختلف مقامات پر کثافت کی قیمت مختلف ہو سکتی ہے۔

تصور کریں کہ حجم میں انتہائی قریب قریب نقطہ چارج پائے جاتے ہیں۔ یوں اگر کسی نقطے پر Δh حجم میں ΔQ چارج پایا جائے تب اس نقطے پر اوسط حجمی چارج کثافت $\frac{\Delta Q}{\Delta h}$ ہوگی۔ کسی بھی نقطے پر چارج کی حجمی کثافت یوں بیان کی جاتی ہے۔

$$\rho_h = \lim_{\Delta h \rightarrow 0} \frac{\Delta Q}{\Delta h} \quad (2.45)$$

کسی بھی حجم میں کل چارج تین درجی مکمل سے حاصل کیا جائے گا۔ کارٹینیسی محدود میں ایسا مکمل یوں لکھا جائے گا۔

$$Q = \iiint_h \rho_h \, dx \, dy \, dz \quad (2.46)$$

جہاں مکمل کے نشان کے نیچے h حجم کو ظاہر کرتا ہے۔ اس طرز کے مکمل کو عموماً ایک درجی مکمل سے ہی ظاہر کیا جاتا ہے یعنی

$$Q = \int_h \rho_h \, dh \quad (2.47)$$

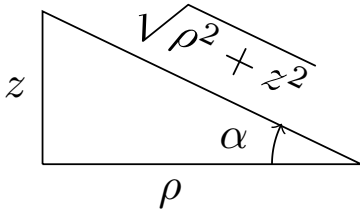
حجم میں \mathbf{r}' نقطے پر چھوٹی سی حجم $\Delta h'$ میں $\rho'_h \Delta h' = \Delta Q$ چارج پایا جائے گا جسے نقطہ چارج تصور کیا جاسکتا ہے۔ نقطہ \mathbf{r} پر اس نقطہ چارج کا برقی میدان dE مساوات 2.20 سے یوں حاصل ہوتا ہے۔

$$dE = \frac{1}{4\pi\epsilon_0} \frac{\rho'_h \Delta h'}{|\mathbf{r} - \mathbf{r}'|^2} \frac{\mathbf{r} - \mathbf{r}'}{|\mathbf{r} - \mathbf{r}'|}$$

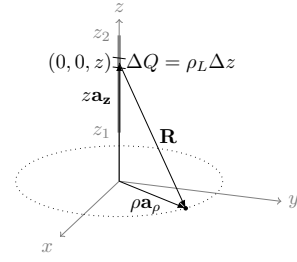
اس مساوات میں نقطہ \mathbf{r}' پر چارج کی کثافت ρ'_h لکھی گئی ہے۔ تمام حجم میں پائے جانے والے چارج کا نقطہ \mathbf{r} پر میدان مندرجہ بالا مساوات کے مکمل سے یوں حاصل کیا جائے گا۔

$$\mathbf{E}(\mathbf{r}) = \frac{1}{4\pi\epsilon_0} \int_h \frac{\rho'_h \, dh'}{|\mathbf{r} - \mathbf{r}'|^2} \frac{\mathbf{r} - \mathbf{r}'}{|\mathbf{r} - \mathbf{r}'|} \quad (2.48)$$

اس مساوات کی شکل قدر خوف ناک ہے البتہ حقیقت میں ایسا ہر گز نہیں۔ سمتیہ \mathbf{r} اس نقطے کی نشاندہی کرتا ہے جہاں برقی میدان حاصل کرنا درکار ہو۔ اس نقطے پر برقی میدان کو $\mathbf{E}(\mathbf{r})$ لکھ کر اس حقیقت کی وضاحت کی گئی ہے کہ نقطے کی تبدیلی سے برقی میدان تبدیل ہو سکتا ہے۔ کثافت از خود متغیر ہے جس کی قیمت \mathbf{r}' پر منحصر ہے۔ \mathbf{r}' پر چھوٹی حجم dh' اور چارج کی کثافت ρ'_h لکھے گئے ہیں جہاں \mathbf{r}' اس بات کی یاد دہانی کرتا ہے کہ یہ متغیرات نقطہ \mathbf{r}' پر پائے جاتے ہیں۔ آخر میں یاد دہانی ہے کہ کسی بھی نقطے پر \mathbf{E} حاصل کرتے وقت اسی نقطے پر موجود چارج کو نظر انداز کیا جاتا ہے۔



(ب) Z اور α کا تعلق



(ا) محدود لکیر پر چارج کی یکساں کثافت

شکل 2.6: محدود لکیر پر چارج

2.6 مزید مثال

706

707

مثال 2.9: شکل 2.6 میں $z = z_1$ سے $z = z_2$ تک کی سیدھی لکیر پر یکساں ρ_L پایا جاتا ہے۔ نقطہ دار گول دائرے پر E حاصل کریں۔ اس گول دائرے کا مرکز کارٹیزی محد کے مرکز $(0, 0, 0)$ پر ہے جبکہ دائرہ از خود $z = 0$ سطح پر پایا جاتا ہے۔

709

حل: شکل 2.6 سے واضح ہے کہ نکتہ دار گول دائرے پر E کی حتمی قیمت $|E|$ یکساں ہوگی۔ یوں ہم لکھ سکتے ہیں

$$\begin{aligned} \mathbf{E} &= \frac{\rho_L}{4\pi\epsilon_0} \int_{z_1}^{z_2} \frac{dz}{|\rho^2 + z^2|} \frac{\rho \mathbf{a}_\rho - z \mathbf{a}_z}{\sqrt{\rho^2 + z^2}} \\ &= \frac{\rho_L \rho \mathbf{a}_\rho}{4\pi\epsilon_0} \int_{z_1}^{z_2} \frac{dz}{|\rho^2 + z^2|^{\frac{3}{2}}} - \frac{\rho_L \mathbf{a}_z}{4\pi\epsilon_0} \int_{z_1}^{z_2} \frac{z dz}{|\rho^2 + z^2|^{\frac{3}{2}}} \\ &= \mathbf{E}_\rho + \mathbf{E}_z \end{aligned}$$

دائیں جانب باری باری تکملہ حل کرتے ہیں۔ تکملہ حل کرنے کی خاطر $z = \rho \tan \alpha$ کا تعلق استعمال کرتے ہیں۔ α کا z کا تعلق شکل 2.6-ب میں دکھایا گیا ہے۔

$$\begin{aligned} E_\rho &= \frac{\rho_L \rho \mathbf{a}_\rho}{4\pi\epsilon_0} \int_{\alpha_1}^{\alpha_2} \frac{\rho \sec^2 \alpha d\alpha}{|\rho^2 + \rho^2 \tan^2 \alpha|^{\frac{3}{2}}} \\ &= \frac{\rho_L \mathbf{a}_\rho}{4\pi\epsilon_0 \rho} \sin \alpha \Big|_{\alpha_1}^{\alpha_2} \\ &= \frac{\rho_L \mathbf{a}_\rho}{4\pi\epsilon_0 \rho} (\sin \alpha_2 - \sin \alpha_1) \end{aligned}$$

حاصل ہوتا ہے جہاں

$$\begin{aligned} \alpha_2 &= \tan^{-1} \frac{z_2}{\rho} \\ \alpha_1 &= \tan^{-1} \frac{z_1}{\rho} \end{aligned}$$

کے برابر ہے۔ شکل 2.6-ب سے $\sin \alpha = \frac{z}{\sqrt{\rho^2 + z^2}}$ لکھا جاسکتا ہے۔ یوں

$$E_\rho = \frac{\rho_L \alpha_\rho}{4\pi\epsilon_0 \rho} \left(\frac{z_2}{\sqrt{\rho^2 + z_2^2}} - \frac{z_1}{\sqrt{\rho^2 + z_1^2}} \right)$$

حاصل ہوتا ہے۔ اسی طرح

$$\begin{aligned} E_z &= -\frac{\rho_L \alpha_z}{4\pi\epsilon_0} \int_{z_1}^{z_2} \frac{z \, dz}{|\rho^2 + z^2|^{\frac{3}{2}}} \\ &= -\frac{\rho_L \alpha_z}{4\pi\epsilon_0} \int_{\alpha_1}^{\alpha_2} \frac{\rho^2 \tan \alpha \sec^2 \alpha \, d\alpha}{|\rho^2 + \rho^2 \tan^2 \alpha|^{\frac{3}{2}}} \end{aligned}$$

سے

$$\begin{aligned} E_z &= \frac{\rho_L \alpha_z}{4\pi\epsilon_0 \rho} (\cos \alpha_2 - \cos \alpha_1) \\ &= \frac{\rho_L \alpha_z}{4\pi\epsilon_0} \left(\frac{1}{\sqrt{\rho^2 + z_2^2}} - \frac{1}{\sqrt{\rho^2 + z_1^2}} \right) \end{aligned}$$

حاصل ہوتا ہے۔ E_ρ اور E_z کا مجموعہ لیتے ہوئے کل برقی میدان یوں حاصل ہوتا ہے۔

$$(2.49) \quad \mathbf{E} = \frac{\rho_L \alpha_\rho}{4\pi\epsilon_0 \rho} \left(\frac{z_2}{\sqrt{\rho^2 + z_2^2}} - \frac{z_1}{\sqrt{\rho^2 + z_1^2}} \right) + \frac{\rho_L \alpha_z}{4\pi\epsilon_0} \left(\frac{1}{\sqrt{\rho^2 + z_2^2}} - \frac{1}{\sqrt{\rho^2 + z_1^2}} \right)$$

اگر نقطہ دار گول دائرہ $z = z_0$ سطح پر پایا جاتا تب مندرجہ بالا مساوات

$$\mathbf{E} = \frac{\rho_L \alpha_\rho}{4\pi\epsilon_0 \rho} \left(\frac{z_2 - z_0}{\sqrt{\rho^2 + (z_2 - z_0)^2}} - \frac{z_1 - z_0}{\sqrt{\rho^2 + (z_1 - z_0)^2}} \right) + \frac{\rho_L \alpha_z}{4\pi\epsilon_0} \left(\frac{1}{\sqrt{\rho^2 + (z_2 - z_0)^2}} - \frac{1}{\sqrt{\rho^2 + (z_1 - z_0)^2}} \right)$$

صورت اختیار کرتا۔

710

711

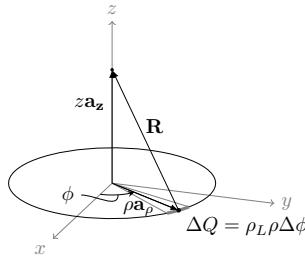
712

مثال 2.10: شکل 2.7 میں $z = 0$ پر گول دائرہ دکھایا گیا ہے جس پر چارج کی یکساں کثافت پائی جاتی ہے۔ نقطہ $(0, 0, z)$ پر \mathbf{E} حاصل کریں۔

713

حل: نیکی محدود استعمال کرتے ہوئے اسے حل کرتے ہیں۔ کسی بھی زاویہ پر رداس کھینچتے ہوئے دائرے پر کوئی نقطہ حاصل کیا جاسکتا ہے۔ زاویہ میں باریک تبدیلی $\Delta\phi$ سے لمبائی $\rho\Delta\phi$ حاصل ہوتی ہے جس پر کل چارج $\Delta Q = \rho_L \rho \Delta\phi$ پایا جائے گا۔ یوں چارج ΔQ مقام ρa_ρ پر پایا جاتا ہے جبکہ \mathbf{E} مقام $z a_z$ پر درکار ہے۔ آپ دیکھ سکتے ہیں کہ \mathbf{E} رداس کی سمت میں ممکن نہیں۔ ΔQ سے

$$\Delta \mathbf{E} = \frac{\rho_L \rho \Delta\phi}{4\pi\epsilon_0 (\rho^2 + z^2)} \frac{z \mathbf{a}_z - \rho \mathbf{a}_\rho}{\sqrt{\rho^2 + z^2}}$$



شکل 2.7: چارج بردار گول دائرہ

پیدا ہوگا۔ دائرے پر تمام چارج کے اثر کے لئے تکملہ لینا ہوگا۔

$$\mathbf{E} = \frac{\rho_L \rho}{4\pi\epsilon_0 (\rho^2 + z^2)^{\frac{3}{2}}} \int_0^{2\pi} (z\mathbf{a}_z - \rho\mathbf{a}_\rho) d\phi$$

تکملہ کا متغیر ϕ ہے جسے تبدیل کرنے سے ρ اور z میں کوئی تبدیلی رونما نہیں ہوتی۔ اسی لئے انہیں تکملہ کی نشان سے باہر لے جایا گیا ہے۔ حاصل تکملہ کو دو حصوں میں لکھا جاسکتا ہے البتہ معاملہ اتنا سیدھا نہیں جتنا معلوم ہوتا ہے۔ E_z لکھتے ہوئے کارتیسی محدود کی اکائی سمتیہ \mathbf{a}_z کو تکملہ کے باہر لے جایا جاسکتا ہے چونکہ ϕ کی تبدیلی سے \mathbf{a}_z تبدیل نہیں ہوتا البتہ E_ρ لکھتے ہوئے ملکی محدود کی اکائی سمتیہ \mathbf{a}_ρ کو تکملہ کے باہر نہیں لے جایا جاسکتا چونکہ ϕ کی تبدیلی سے \mathbf{a}_ρ کی سمت تبدیل ہوتی ہے۔ چونکہ \mathbf{a}_ρ کی سمت تبدیل ہوتی ہے لہذا اس کو مستقل تصور کرنا غلط ہے اور یوں یہ تکملہ کے اندر ہی رہے گا۔

$$\begin{aligned} E_z &= \frac{\rho_L \rho z \mathbf{a}_z}{4\pi\epsilon_0 (\rho^2 + z^2)^{\frac{3}{2}}} \int_0^{2\pi} d\phi \\ E_\rho &= -\frac{\rho_L \rho^2}{4\pi\epsilon_0 (\rho^2 + z^2)^{\frac{3}{2}}} \int_0^{2\pi} \mathbf{a}_\rho d\phi \end{aligned} \quad (2.50)$$

پہلے تکملہ کا جواب اب دیکھ کر ہی

$$E_z = \frac{2\pi\rho_L\rho z \mathbf{a}_z}{4\pi\epsilon_0 (\rho^2 + z^2)^{\frac{3}{2}}} \quad (2.51)$$

لکھا جاسکتا ہے جبکہ دوسرے تکملہ میں $\mathbf{a}_\rho = \cos\phi\mathbf{a}_x + \sin\phi\mathbf{a}_y$ لکھتے ہوئے حل کرتے ہیں۔

$$\begin{aligned} E_\rho &= -\frac{\rho_L \rho^2}{4\pi\epsilon_0 (\rho^2 + z^2)^{\frac{3}{2}}} \int_0^{2\pi} (\cos\phi\mathbf{a}_x + \sin\phi\mathbf{a}_y) d\phi \\ &= -\frac{\rho_L \rho^2}{4\pi\epsilon_0 (\rho^2 + z^2)^{\frac{3}{2}}} (\sin\phi\mathbf{a}_x - \cos\phi\mathbf{a}_y) \Big|_0^{2\pi} \\ &= 0 \end{aligned}$$

یہی جواب اس طرح بھی حاصل کیا جاسکتا ہے کہ گول دائرے پر تمام چارج کو $Q = 2\pi\rho\rho_L$ لکھیں۔ یہ چارج نقطہ $(0,0,z)$ سے $\sqrt{\rho^2 + z^2}$ فاصلے پر ہے۔ اگر اس تمام چارج کو ایک ہی نقطے $(\rho,0,0)$ پر موجود تصور کیا جائے تو یہ

$$\mathbf{E}_R = \frac{2\pi\rho\rho_L}{4\pi\epsilon_0 (\rho^2 + z^2)} \mathbf{a}_R$$

برقی میدان پیدا کرے گا۔ چارج گول دائرے پر پھیلا ہوا ہے لہذا حقیقت میں صرف a_z جانب ہی E پیدا ہوتا ہے۔ شکل میں اس تکنوں کو دیکھتے ہوئے جس کا R حصہ ہے آپ دیکھ سکتے ہیں کہ E_R کا $\frac{z}{\sqrt{\rho^2 + z^2}}$ حصہ حقیقت میں پایا جائے گا۔ یوں

$$E_z = \frac{2\pi\rho\rho_L}{4\pi\epsilon_0(\rho^2 + z^2)} \frac{z}{\sqrt{\rho^2 + z^2}} a_z$$

یہی حاصل ہوتا ہے۔

714

715

716

717

مثال 2.11: رداس a کرہ کی سطح پر یکساں چارج کثافت ρ_s پایا جاتا ہے۔ کرہ کے باہر اور اس کے اندر برقی میدان E حاصل کریں۔

حل: ہم کرہ کو کروی محدود کے مرکز پر رکھتے ہوئے حل کرتے ہیں۔ کرہ کی سطح پر نقطہ $M(a, \theta, \phi)$ پر چھوٹی رقبہ $a^2 \sin \theta d\theta d\phi$ میں چارج $\rho_s a^2 \sin \theta d\theta d\phi$ پایا جائے گا جو نقطہ $N(0, 0, b)$ پر برقی میدان dE پیدا کرے گا۔ محدود کے مرکز سے M تک سمتی فاصلہ $a a_r$ جبکہ مرکز سے N تک سمتی فاصلہ $b a_z$ ہے۔ یوں M سے N تک سمتی فاصلہ

(2.52)

$$R = b a_z - a a_r$$

لکھا جاسکتا ہے جہاں کارٹیزی محدود اور کروی محدود کے اکائی سمتیات استعمال کئے گئے ہیں۔ اس طرح

(2.53)

$$\begin{aligned} |R| &= \sqrt{R \cdot R} = \sqrt{(b a_z - a a_r) \cdot (b a_z - a a_r)} \\ &= \sqrt{b^2 + a^2 - 2ab a_z \cdot a_r} \\ &= \sqrt{b^2 + a^2 - 2ab \cos \theta} \end{aligned}$$

اور

(2.54)

$$a_R = \frac{R}{|R|} = \frac{b a_z - a a_r}{\sqrt{b^2 + a^2 - 2ab \cos \theta}}$$

718

حاصل ہوتے ہیں جہاں صفحہ 32 پر جدول 1.3 کے استعمال سے $a_z \cdot a_r = \cos \theta$ لکھا گیا ہے۔

کرہ کی سطح z محدود کو $(0, 0, -a)$ اور $(0, 0, a)$ پر چھوتا ہے جہاں بالترتیب $\theta = \pi$ اور $\theta = 0$ کے برابر ہیں۔ یوں $(0, 0, -a)$ سے $N(0, 0, b)$ تک فاصلہ

(2.55)

$$\begin{aligned} \sqrt{b^2 + a^2 - 2ab \cos \pi} &= \sqrt{b^2 + a^2 + 2ab} \\ &= \sqrt{(b + a)^2} \\ &= b + a \end{aligned}$$

کے برابر ہے جہاں جذر لیتے وقت مثبت جواب چنا گیا ہے چونکہ فاصلہ مقداری²⁰ ہے جو مثبت قیمت رکھتا ہے۔ اسی طرح $(0, 0, a)$ سے $N(0, 0, b)$ تک فاصلہ

(2.56)

$$\sqrt{b^2 + a^2 - 2ab \cos 0} = \sqrt{b^2 + a^2 - 2ab}$$

²⁰ فاصلہ ہر صورت مثبت ہوتا ہے البتہ سمتی فاصلہ مثبت یا منفی ہو سکتا ہے جہاں سمتی فاصلے کی مقدار مثبت ہی رہتی ہے جبکہ اس کی سمت مثبت یا منفی ہو سکتی ہے۔

کے برابر ہے۔ اگر N کرہ کے باہر ہو تب $b > a$ ہوگا اور یہ فاصلہ $b - a$ کے برابر ہوگا جسے مساوات 2.56 سے یوں

$$(2.57) \quad \sqrt{b^2 + a^2 - 2ab} = \sqrt{(b - a)^2} = b - a$$

حاصل کیا جاسکتا ہے۔ اس کے برعکس اگر N کرہ کے اندر ہو تب $b < a$ ہوگا اور یہ فاصلہ $a - b$ کے برابر ہوگا جسے اور مساوات 2.56 سے یوں

$$(2.58) \quad \sqrt{b^2 + a^2 - 2ab} = \sqrt{(a - b)^2} = a - b$$

حاصل کیا جاسکتا ہے۔

اس طرح N پر

$$dE = \frac{a^2 \sin \theta \, d\theta \, d\phi}{4\pi\epsilon_0 R^2} \mathbf{a}_R$$

لکھتے ہوئے تمام کرہ پر چارج سے پیدا میدان کو مکمل سے یوں حاصل کیا جاسکتا ہے۔

$$(2.59) \quad \begin{aligned} \mathbf{E} &= \int_0^{2\pi} \int_0^\pi \frac{\rho_S a^2 \sin \theta \, d\theta \, d\phi}{4\pi\epsilon_0 (b^2 + a^2 - 2ab \cos \theta)} \frac{b\mathbf{a}_Z - a\mathbf{a}_R}{\sqrt{b^2 + a^2 - 2ab \cos \theta}} \\ &= \frac{\rho_S a^2}{4\pi\epsilon_0} \int_0^{2\pi} \int_0^\pi \frac{(b\mathbf{a}_Z - a\mathbf{a}_R) \sin \theta}{(b^2 + a^2 - 2ab \cos \theta)^{\frac{3}{2}}} d\theta \, d\phi \end{aligned}$$

اس مساوات میں جدول 1.3 کی مدد سے $\mathbf{a}_R = \sin \theta \cos \phi \mathbf{a}_X + \sin \theta \sin \phi \mathbf{a}_Y + \cos \theta \mathbf{a}_Z$ لکھتے ہوئے

$$(2.60) \quad \mathbf{E} = \frac{\rho_S a^2}{4\pi\epsilon_0} \int_0^{2\pi} \int_0^\pi \frac{[-a \sin \theta \cos \phi \mathbf{a}_X - a \sin \theta \sin \phi \mathbf{a}_Y + (b - a \cos \theta) \mathbf{a}_Z] \sin \theta}{(b^2 + a^2 - 2ab \cos \theta)^{\frac{3}{2}}} d\theta \, d\phi$$

حاصل ہوتا ہے۔ Z محور سے دیکھتے ہوئے صاف ظاہر ہے کہ اس محدود میدان صرف اور صرف \mathbf{a}_Z سمت میں ہی ممکن ہے۔ یوں \mathbf{a}_X اور \mathbf{a}_Y اجزاء کو صفر لیتے ہوئے

$$(2.61) \quad E_Z = \frac{\rho_S a^2}{4\pi\epsilon_0} \int_0^{2\pi} \int_0^\pi \frac{(b - a \cos \theta) \sin \theta}{(b^2 + a^2 - 2ab \cos \theta)^{\frac{3}{2}}} d\theta \, d\phi$$

لکھتے ہیں۔ سوال 2.1 میں آپ سے درخواست کی گئی ہے کہ مساوات 2.60 میں \mathbf{a}_X اور \mathbf{a}_Y اجزاء کو صفر ثابت کریں۔ بیرونی مکمل پہلے لیتے ہوئے

$$(2.62) \quad E_Z = \frac{2\pi\rho_S a^2}{4\pi\epsilon_0} \int_0^\pi \frac{(b - a \cos \theta) \sin \theta}{(b^2 + a^2 - 2ab \cos \theta)^{\frac{3}{2}}} d\theta$$

حاصل ہوتا ہے جسے

$$(2.63) \quad E_Z = \frac{2\pi\rho_S a^2 b}{4\pi\epsilon_0} \int_0^\pi \frac{\sin \theta \, d\theta}{(b^2 + a^2 - 2ab \cos \theta)^{\frac{3}{2}}} - \frac{2\pi\rho_S a^3}{4\pi\epsilon_0} \int_0^\pi \frac{\cos \theta \sin \theta \, d\theta}{(b^2 + a^2 - 2ab \cos \theta)^{\frac{3}{2}}}$$

لکھا جاسکتا ہے۔

مساوات 2.63 کے پہلے مکمل میں $w = \cos \theta$ اور $dw = -\sin \theta \, d\theta$ پُر کر کے حل کرتے ہوئے

$$(2.64) \quad \int \frac{\sin \theta \, d\theta}{(b^2 + a^2 - 2ab \cos \theta)^{\frac{3}{2}}} = \int \frac{-dw}{(b^2 + a^2 - 2abw)^{\frac{3}{2}}} = \frac{-1}{ab(b^2 + a^2 - 2abw)^{\frac{1}{2}}}$$

یعنی

$$\frac{-1}{ab\sqrt{b^2 + a^2 - 2ab \cos \theta}}$$

لکھا جاسکتا ہے۔ یوں

$$(2.65) \quad \int_0^\pi \frac{\sin \theta \, d\theta}{(b^2 + a^2 - 2ab \cos \theta)^{\frac{3}{2}}} = \frac{-1}{ab\sqrt{b^2 + a^2 - 2ab \cos \theta}} \Big|_0^\pi$$

$$= \frac{-1}{ab\sqrt{b^2 + a^2 + 2ab}} + \frac{1}{ab\sqrt{b^2 + a^2 - 2ab}}$$

حاصل ہوتا ہے جو N بیرون کرہ ہونے کی صورت میں مساوات 2.55 اور مساوات 2.57 کے تحت

$$(2.66) \quad \frac{1}{ab} \left[\frac{-1}{b+a} + \frac{1}{b-a} \right] = \frac{1}{ab} \left[\frac{-(b-a) + (b+a)}{(b+a)(b-a)} \right] = \frac{2}{b(b^2 - a^2)}$$

جبکہ N اندرون کرہ ہونے کی صورت میں مساوات 2.55 اور مساوات 2.58 کے تحت

$$(2.67) \quad \frac{1}{ab} \left[\frac{-1}{a+b} + \frac{1}{a-b} \right] = \frac{1}{ab} \left[\frac{-(a-b) + (a+b)}{(a+b)(a-b)} \right] = \frac{2}{a(a^2 - b^2)}$$

شکل اختیار کرتا ہے۔

722

مساوات 2.63 کے دوسرے نکل میں $w = \cos \theta$ پُر کرتے ہوئے

$$\int \frac{\cos \theta \sin \theta \, d\theta}{(b^2 + a^2 - 2ab \cos \theta)^{\frac{3}{2}}} = \int \frac{-w \, dw}{(b^2 + a^2 - 2abw)^{\frac{3}{2}}}$$

حاصل ہوتا ہے۔ آپ

$$\int u \, dv = uv - \int v \, du$$

کے کلیہ سے بخوبی واقف ہیں۔ ہم

$$u = w$$

$$dv = \frac{-dw}{(b^2 + a^2 - 2abw)^{\frac{3}{2}}}$$

لیتے ہیں۔ یوں

$$v = \int dv = \int \frac{-dw}{(b^2 + a^2 - 2abw)^{\frac{3}{2}}}$$

کے برابر ہے جسے ہم مساوات 2.64 میں حاصل کر چکے ہیں۔ اس طرح

$$\begin{aligned} \int \frac{\cos \theta \sin \theta d\theta}{(b^2 + a^2 - 2ab \cos \theta)^{\frac{3}{2}}} &= \int w \left[\frac{-dw}{(b^2 + a^2 - 2abw)^{\frac{3}{2}}} \right] \\ &= w \left[\frac{-1}{ab(b^2 + a^2 - 2abw)^{\frac{1}{2}}} \right] + \int \frac{dw}{ab(b^2 + a^2 - 2abw)^{\frac{1}{2}}} \\ &= \frac{-w}{ab(b^2 + a^2 - 2abw)^{\frac{1}{2}}} - \frac{(b^2 + a^2 - 2abw)^{\frac{1}{2}}}{a^2 b^2} \\ &= \frac{-(b^2 + a^2 - abw)}{a^2 b^2 (b^2 + a^2 - 2abw)^{\frac{1}{2}}} \end{aligned}$$

سے

$$\begin{aligned} \int_0^\pi \frac{\cos \theta \sin \theta d\theta}{(b^2 + a^2 - 2ab \cos \theta)^{\frac{3}{2}}} &= \frac{-(b^2 + a^2 - ab \cos \theta)}{a^2 b^2 (b^2 + a^2 - 2ab \cos \theta)^{\frac{1}{2}}} \Big|_0^\pi \\ &= \frac{1}{a^2 b^2} \left[\frac{-(b^2 + a^2 + ab)}{\sqrt{b^2 + a^2 + 2ab}} + \frac{(b^2 + a^2 - ab)}{\sqrt{b^2 + a^2 - 2ab}} \right] \end{aligned}$$

حاصل ہوتا ہے۔ N کا کرہ سے باہر ہونے کی صورت میں اس سے

$$(2.68) \quad \frac{1}{a^2 b^2} \left[\frac{-(b^2 + a^2 + ab)}{\sqrt{b^2 + a^2 + 2ab}} + \frac{(b^2 + a^2 - ab)}{\sqrt{b^2 + a^2 - 2ab}} \right] = \frac{2a}{b^2(b^2 - a^2)}$$

جبکہ N کا کرہ کے اندر ہونے کی صورت میں اس سے

$$(2.69) \quad \frac{1}{a^2 b^2} \left[\frac{-(b^2 + a^2 + ab)}{\sqrt{b^2 + a^2 + 2ab}} + \frac{(b^2 + a^2 - ab)}{\sqrt{b^2 + a^2 - 2ab}} \right] = \frac{2b}{a^2(a^2 - b^2)}$$

حاصل ہوتا ہے۔ کرہ کے باہر مساوات 2.66 اور مساوات 2.68 کو استعمال کرتے ہوئے مساوات 2.63 سے

$$\begin{aligned} E_z &= \frac{2\pi\rho_S a^2 b}{4\pi\epsilon_0} \left(\frac{2}{b(b^2 - a^2)} \right) - \frac{2\pi\rho_S a^3}{4\pi\epsilon_0} \left(\frac{2a}{b^2(b^2 - a^2)} \right) \\ (2.70) \quad &= \frac{4\pi\rho_S a^2}{4\pi\epsilon_0 b^2} \\ &= \frac{Q}{4\pi\epsilon_0 b^2} \end{aligned}$$

حاصل ہوتا ہے جہاں کرہ پر کل چارج $4\pi a^2 \rho_S$ کو Q لکھا گیا ہے۔ کرہ کے اندر مساوات 2.67 اور مساوات 2.69 کو استعمال کرتے ہوئے مساوات 2.63

$$\begin{aligned} E_z &= \frac{2\pi\rho_S a^2 b}{4\pi\epsilon_0} \left(\frac{2}{a(a^2 - b^2)} \right) - \frac{2\pi\rho_S a^3}{4\pi\epsilon_0} \left(\frac{2b}{a^2(a^2 - b^2)} \right) \\ (2.71) \quad &= 0 \end{aligned}$$

مساوات 2.70 بیرون کرہ z محور پر میدان دیتا ہے۔ چونکہ ہم کسی بھی سمت میں اس محدود کورکھ سکتے تھے اور میدان اسی محدود کی سمت یعنی رداسی سمت میں ہوتا لہذا یہ ایک عمومی جواب ہے جسے کسی بھی بیرونی نقطے کے لئے

$$(2.72) \quad E = \frac{Q}{4\pi\epsilon_0 r^2} \mathbf{a}_r \quad (r > a)$$

لکھا جاسکتا ہے۔ یہ وہی میدان ہے جو کروی محدود کے مرکز پر Q نقطہ چارج رکھنے سے حاصل ہوتا ہے۔

مساوات 2.71 کے تحت کرہ کے اندر میدان صفر کے برابر ہے۔ یہ انتہائی اہم نتیجہ ہے۔ ہم کسی بھی مقام کو کرہ یا کسی بھی مکمل بند موصل سطح میں گھیر کر اس مقام پر صفر برقی میدان یقینی بنا سکتے ہیں۔ ایسی سطح کو **فیئرڈے پناہ گاہ**²¹ کہتے ہیں۔

حصہ 3.4.2 میں اسی مسئلے کو انتہائی آسان طریقے سے حل کرنا دکھایا جائے گا۔

مثال 2.12: مثال 2.11 کے نتائج استعمال کرتے ہوئے a رداس کرہ جس میں یکساں ρ_h حجمی چارج کثافت پائی جائے گا کرہ کے اندر اور کرہ کے باہر برقی میدان E حاصل کریں۔

حل: کرہ کے اندر رداس r پر dr موٹی جھلی کا حجم $4\pi r^2 dr$ ہوگا جس میں کل $4\pi \rho_h r^2 dr$ چارج پایا جائے گا۔ مثال 2.11 کے مطابق یہ چارج r سے کم رداس کے خطے میں کوئی برقی میدان نہیں پیدا کرتا جبکہ r سے زیادہ رداس پر یہ میدان پیدا کرے گا۔ یوں R سے کم کسی بھی رداس پر جھلی میں پائے جانے والا چارج R پر میدان پیدا کرے گا جسے

$$E = \int_0^R \frac{4\pi \rho_h r^2 dr}{4\pi \epsilon_0 R^2} \mathbf{a}_r = \frac{\rho_h r^3}{3\epsilon_0 R^2} \mathbf{a}_r \Big|_0^R = \frac{\rho_h R}{3\epsilon_0} \mathbf{a}_r \quad (R < a) \quad (2.73)$$

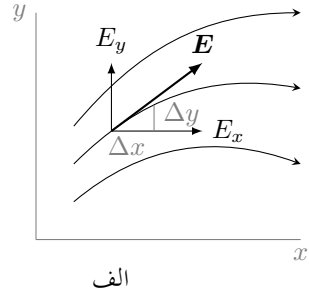
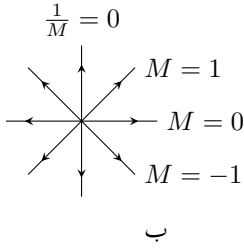
لکھ کر حاصل کیا جاسکتا ہے۔ چارج کرہ کے باہر یعنی $R > a$ کی صورت میں کرہ میں موجود تمام چارج بطور نقطہ چارج کردار ادا کرتے ہوئے

$$E = \frac{\frac{4}{3}\pi a^3 \rho_h}{4\pi \epsilon_0 R^2} \mathbf{a}_r = \frac{a^3 \rho_h}{3\epsilon_0 R^2} \mathbf{a}_r \quad (R > a) \quad (2.74)$$

2.7 برقی میدان کے سمت بہاؤ خط

ہم نے اب تک جتنے بھی مثال دیکھے ان سب میں E کی شکل سیدھی لکیر کی مانند ہی ہے۔ ایسے میدان کا تصور اتنی شکل ذہن میں بنانا آسان ہوتا ہے۔ یوں نقطہ چارج کے میدان کو چارج سے ابتدا کرتے ہوئے ہر طرف سمتیوں سے ظاہر کیا جاسکتا ہے۔ اب چارج کے قریب E کی قیمت زیادہ اور چارج سے دور اس کی قیمت کم ہوتی ہے۔ یوں مختلف مقامات پر E کی لمبائی یہاں کے میدان کی نسبت سے ہوگی۔ میدان کو ظاہر کرنے کے دیگر طریقے بھی رائج ہیں۔

آئیں ایسے ہی ایک طریقے پر غور کریں جس میں میدان کو **سمت بہاؤ خط** سے ظاہر کیا جاتا ہے۔ اس طریقے میں کسی بھی نقطے پر E یہاں سے گزرتے سمت بہاؤ خط کا مماس ہوتا ہے۔ جس مقام پر گھنے سمت بہاؤ خطوط پائے جائیں ایسے مقام پر E کی مقدار زیادہ ہوتی ہے اور جہاں ان خطوط کی تعداد کم ہو وہاں میدان کمزور ہوتا ہے۔ سمت بہاؤ خطوط پر تیر کا نشان E کے مثبت سمت کی نشاندہی کرتا ہے۔



شکل 2.8: (الف) سمت بہاؤ خط کے مساوات کا حصول۔ (ب) لکیری چارج کثافت کے سمت بہاؤ خط۔

کار تیزی محدود میں کسی بھی میدان کو

$$\mathbf{E} = E_x \mathbf{a}_x + E_y \mathbf{a}_y + E_z \mathbf{a}_z$$

لکھا جاسکتا ہے۔ یہ مساوات ان میدان کو بھی ظاہر کرتا ہے جو سیدھی لکیر کی مانند نہ ہوں۔ آئیں ایسے عمومی میدان پر غور کریں جس میں E_z کی قیمت صفر کے برابر ہو جبکہ E_x اور E_y کی قیمتیں x اور y پر منحصر ہو۔ کسی بھی نقطہ (x, y) پر ایسے میدان کو

$$\mathbf{E} = E_x(x, y) \mathbf{a}_x + E_y(x, y) \mathbf{a}_y \quad (2.75)$$

لکھا جاسکتا ہے۔ شکل 2.8-الف میں ایسے ہی ایک \mathbf{E} کے تین سمت بہاؤ خط دکھائے گئے ہیں۔ شکل میں کسی عمومی نقطہ پر \mathbf{E} دکھایا گیا ہے جو اس نقطہ سے گزرتے سمت بہاؤ خط کا مماس ہے۔ میدان کے کار تیزی اجزاء E_x اور E_y بھی دکھائے گئے ہیں۔ اسی نقطہ پر سمت بہاؤ خط کی چھوٹی لمبائی لیتے ہوئے Δx اور Δy دکھائے گئے ہیں۔ Δx اور Δy کو کم سے کم کرتے ہوئے ہم شکل کو دیکھتے ہوئے

$$\frac{dy}{dx} = \frac{E_y}{E_x} \quad (2.76)$$

لکھ سکتے ہیں۔ اب اگر ہمیں E_x اور E_y کی خاصیت معلوم ہو تب ہم مکمل سے سمت بہاؤ خط کی مساوات حاصل کر سکتے ہیں۔

آئیں لا محدود لکیری چارج کثافت کے میدان کو مثال بناتے ہوئے اس کے سمت بہاؤ خط کی مساوات حاصل کریں۔ $\rho_L = 2\pi\epsilon_0$ کی صورت میں z محدود پر لا محدود لکیری چارج کثافت کا میدان

$$\mathbf{E} = \frac{a_\rho}{\rho} \quad (2.77)$$

لکھا جاتا ہے۔ مساوات 2.75 بھی اسی میدان کی مساوات ہے جس سے ظاہر ہے کہ $E_x = \mathbf{E} \cdot \mathbf{a}_x$ اور $E_y = \mathbf{E} \cdot \mathbf{a}_y$ سے حاصل کئے جاسکتے ہیں۔ یوں مساوات 2.77 کی مدد سے

$$E_x = \frac{1}{\rho} \mathbf{a}_\rho \cdot \mathbf{a}_x = \frac{\cos \phi}{\rho} = \frac{x}{x^2 + y^2}$$

$$E_y = \frac{1}{\rho} \mathbf{a}_\rho \cdot \mathbf{a}_y = \frac{\sin \phi}{\rho} = \frac{y}{x^2 + y^2}$$

حاصل ہوتے ہیں۔ یوں لا محدود لکیری چارج کثافت کے میدان کو

$$\mathbf{E} = \frac{x}{x^2 + y^2} \mathbf{a}_x + \frac{y}{x^2 + y^2} \mathbf{a}_y \quad (2.78)$$

لکھا جاسکتا ہے۔ اس طرح مساوات 2.76 کو

$$\frac{dy}{dx} = \frac{y}{x}$$

یا

$$\frac{dy}{y} = \frac{dx}{x}$$

لکھ کر اس کا تامل

$$\ln y = \ln x + M'$$

یعنی

(2.79)

$$y = Mx$$

لیتے ہوئے میدان کے سمت بہاؤ خط کی مساوات حاصل کرتے ہیں۔ یہ سیدھی لکیر کی مساوات ہے جسے مختلف M کے قیمتوں کے لئے شکل 2.8-ب میں کھینچا گیا ہے۔

سوالات

741

742

سوال 2.1: صفحہ 60 پر مساوات 2.60 میں a_x اور a_y اجزاء کا تکمیل لیتے ہوئے انہیں صفر کے برابر ثابت کریں۔

743

سوال 2.2: تگنوں کے تینوں کونوں پر $25 \mu C$ کا چارج پایا جاتا ہے جبکہ تینوں کونوں سے 15 cm فاصلے پر $20 \mu C$ چارج پایا جاتا ہے۔ تگنوں کے اطراف 10-cm ہونے کی صورت میں چوتھے چارج پر قوت دفع کی مقدار حاصل کریں۔

745

746

جواب: 0.553 N

سوال 2.3: $z = 0$ پر 4 nF اور $z = 1 \text{ cm}$ پر -3 nF چارج پائے جاتے ہیں۔ z محور پر وہ نقطے دریافت کریں جہاں مثبت چارج پر صفر قوت پائی جائے گی۔

748

749

جوابات: $z = 0.92 \text{ cm}$ ، $z = 7.08 \text{ cm}$

سوال 2.4: ایک چکور کے اطراف 25 cm ہیں جبکہ اس کے چاروں کونوں پر 30 nC چارج پایا جاتا ہے۔ کسی ایک کونے کے چارج پر کتنی قوت عمل کرے گی۔

751

جواب: 0.248 mN

سوال 2.5: نقطہ $(2, 1, -3)$ پر 15 nC اور نقطہ $(-3, -5, 4)$ پر -6 nC چارج پایا جاتا ہے۔ نقطہ $(2, 1, -3)$ پر برقی شدت E حاصل کریں۔

753

جواب: $-0.191a_x + 1.057a_y + 2.195a_z$

سوال 2.6: نقطہ $(0, 0, 3)$ اور $(0, 0, -3)$ پر $20 \mu C$ چارج پائے جاتے ہیں۔ نقطہ $N(2, 0, 0)$ پر برقی شدت E حاصل کریں۔ محدود کے مرکز پر کتنا چارج نقطہ N پر اتنی ہی برقی شدت پیدا کرے گا۔

755

756

جوابات: $6.827 \mu C$ ، $E = 15339a_x \frac{V}{m}$

757

سوال 2.7: نقطہ $(4, -2, 7)$ پر $5 \mu C$ اور $(-3, 4, -2)$ پر $12 \mu C$ چارج پایا جاتا ہے۔ y محور پر کہاں $E_x = 0$ ہوگا۔

758

جواب: $y = -22.11$ ، $y = -6.89$

سوال 2.8: نقطہ $P(6, 3, 7)$ پر $6 \mu C$ پایا جاتا ہے۔ نقطہ $N(5, 4, 2)$ پر کارٹیس، ٹکلی اور کروی محدود میں E حاصل کریں۔ نقطہ N کے اکائی سمتیت استعمال کریں۔ جوابات: $E = -384.4a_x + 384.4a_y - 1922a_z$ ، $E = -60a_\rho + 540a_\phi - 1922a_z$ ، $E = -630a_r + 1817a_\theta + 540a_\phi$

760

761

سوال 2.9: نقطہ $(0, 0, 0.25)$ اور $(0, 0, -0.25)$ پر 50 nC جبکہ $(0, 0, 0)$ پر -35 nC پایا جاتا ہے۔ نقطہ $N(3, 1, 2)$ پر کارٹیس اور کروی محدود میں E حاصل کریں۔

763

764

جواب: $42a_r + 0.39a_\theta$ ، $34a_x + 11a_y + 22a_z$

765

سوال 2.10: محدود کے مرکز پر 1 nC چارج پایا جاتا ہے۔ سطح $z = 0$ پر اس خط کی مساوات حاصل کریں جس پر $E_y = 1 \frac{V}{m}$ ہوگا۔

766

جواب: $\rho^2 = 8.987 \sin \phi$ ، $80.8y^2 = (x^2 + y^2)^3$

سوال 2.11: محدود کے مرکز پر پڑے چکور کے چاروں کونوں پر 5 nC نقطہ چارج پائے جاتے ہیں۔ چکور $z = 0$ سطح پر پایا جاتا ہے جبکہ اس کے اطراف 1 m لمبے ہیں۔ نقطہ $(0, a, 0)$ اور نقطہ $(0, 2a, 0)$ پر برقی شدت کی شرح $a = 2$ ، $a = 10$ ، اور $a = \infty$ کی صورت میں حاصل کریں۔

768

769

جوابات: 4 ، 4.01 ، 4.15

سوال 2.12: نقطہ $(0, 0, 0)$ پر Q_1 اور نقطہ $(1, 0, 0)$ پر Q_2 نقطہ چارج پائے جاتے ہیں۔ نقطہ $(2, 1, 0)$ پر $E_x = 0$ ہونے کی صورت میں چارہوں کا تعلق دریافت کریں۔

771

772

جواب: $Q_1 = -1.976Q_2$

سوال 2.13: کارتیسی محدود کے پہلے آٹھویں حصے $(x > 0, y > 0, z > 0)$ میں حجمی کثافت چارج $\rho_h = 10e^{-2z}(x^2 + 2y^2)$ ہے جبکہ بقایا سات حصوں میں کوئی چارج نہیں پایا جاتا۔ خطہ $(0 \leq x \leq 1, 0 \leq y \leq 1, 0 \leq z \leq 1)$ میں کل چارج حاصل کریں۔ اسی طرح خطہ $(0 \leq x + 2y \leq 1, 0 \leq z \leq 1)$ میں کل چارج حاصل کریں۔

775

776

جوابات: پہلا جواب 4.32 C ہے۔ دوسرا مکمل $\int_0^1 \int_0^{1-2y} \int_0^1 \rho_h dz dx dy$ لکھتے ہوئے 0.27 C حاصل ہوگا۔

سوال 2.14: حجمی کثافت چارج $\rho_h = (\rho + 0.002)z^2 \tan \phi \text{ C/m}^3$ خطہ $0 \leq \rho \leq 0.008$ ، $30^\circ \leq \phi \leq 75^\circ$ ، $2 \leq z \leq 5$ میں پایا جاتا ہے۔ کثافت چارج کی زیادہ سے زیادہ قیمت دریافت کریں۔ اس خطے میں کل چارج حاصل کریں۔

778

779

جوابات: $11.05 \mu\text{C}$ ، 0.933 C/m^3

سوال 2.15: نمکی محدود میں z محدود کے گردیکساں حجمی کثافت چارج $e^{-\rho^2}$ پائی جاتی ہے۔ $z = 0$ تا $z = 1$ کل چارج حاصل کریں۔ z محدود کے گرد کتنے رداس کے اندر کل چارج کا آدھا پایا جاتا ہے۔

781

782

جوابات: 0.832 m ، 3.142 C

سوال 2.16: کروی محدود میں رداس کے ساتھ بدلتی حجمی کثافت چارج $\rho_h = \sqrt{r}$ پائی جاتی ہے۔ اکائی رداس کے کرہ میں کل چارج حاصل کریں۔ اسی طرح خطہ $(r \leq 0.5, \theta \leq 25^\circ, \phi \leq \frac{\pi}{3})$ میں کل چارج حاصل کریں۔

784

785

جوابات: 0.028 C ، 3.59 C

سوال 2.17: محدود پر $\rho_L = 5 \frac{\text{nC}}{\text{m}}$ لکیری کثافت چارج پایا جاتا ہے جبکہ نقطہ $(0, 3, 0)$ پر -2 nC نقطہ چارج پایا جاتا ہے۔ نقطہ $(4, 8, 1)$ پر E حاصل کریں۔

787

788

جواب: $-0.26a_x + 10.73a_y + 1.32a_z \frac{\text{V}}{\text{m}}$

سوال 2.18: نقطہ $(0, 2, 0)$ اور $(0, 0, 4)$ سے گزرتی سیدھی لکیر پر لکیری کثافت چارج $2 \frac{\text{nC}}{\text{m}}$ پایا جاتا ہے جبکہ نقطہ $(6, 1, -2)$ پر 7 nC چارج پایا جاتا ہے۔ نقطہ $(6, 8, 4)$ پر E حاصل کریں۔

790

791

جواب: $2.47a_x + 3.78a_y + 1.65a_z \frac{\text{V}}{\text{m}}$

سوال 2.19: کارتیسی z محدود کے کچھ حصہ $0 \leq z$ پر لکیری کثافت چارج $5 \frac{\text{nC}}{\text{m}}$ پایا جاتا ہے۔ نقطہ $(0, 0, -2)$ اور نقطہ $(5, -2, 6)$ پر برقی شدت E حاصل کریں۔

793

جوابات: $13.5a_x + 5.4a_y - 5.5a_z \frac{V}{m}$ ، $-22.5a_z \frac{V}{m}$

794

سوال 2.20: کارتیسی z محدود کے کچھ حصہ $2 \leq z \leq 10$ پر لکیری کثافت چارج $2 \frac{nC}{m}$ پایا جاتا ہے۔ نقطہ $(2, 12, 8)$ پر برقی شدت E حاصل کریں۔

796

$147a_x + 881a_y + 133a_z \frac{V}{m}$

سوال 2.21: سطح $y = 1$ پر $\rho_s = 0.72 \frac{nC}{m^2}$ ، سطح $y = -3$ پر $\rho_s = -0.72 \frac{nC}{m^2}$ ، سطح $x = -6$ پر $0.4 \frac{nC}{m^2}$ اور لکیر $x = 2, z = 3$ پر $0.4\pi \frac{nC}{m}$ پایا جاتا ہے۔ نقطہ $(1, 3, -1)$ پر E حاصل کریں۔

798

جواب: $21.3a_x - 5.31a_z \frac{V}{m}$

799

سوال 2.22: سطح $z = 0$ پر مستطیل خطہ $-2 \leq x \leq 2, -3 \leq y \leq 3$ پر $\rho_s = |x| \frac{nC}{m^2}$ پایا جاتا ہے۔ نقطہ $(0, 0, 3)$ پر برقی میدان E حاصل کریں۔

801

جواب: $13.36 \frac{V}{m}$

802

سوال 2.23: سطح $z = 0$ پر ٹکلی رداس $\rho = 2$ تا $\rho = 5$ سطحی کثافت چارج $\rho_s = 4 \frac{nC}{m^2}$ پایا جاتا ہے۔ نقطہ $(0, 0, 5)$ پر برقی شدت E حاصل کریں۔

804

جواب: $50 \frac{V}{m}$

805

سوال 2.24: میدان $E = 3\sqrt{xy}a_x + x^3y^2a_y$ کا سمت بہا و خط حاصل کریں۔ نقطہ $(4, 1, 7)$ پر میدان کی سمت میں اکائی سمتیہ لکھیں۔

806

جوابات: $0.093a_x + 0.996a_y$ ، $\frac{y^2}{2} = \frac{x^{3.5}}{3.5} + C$

807

سوال 2.25: میدان $E = (x + 2)a_x + (4 - y)a_y$ کے اس سمت بہا و خط کی مساوات حاصل کریں جو نقطہ $(5, 7, 2)$ سے گزرتی ہے۔

808

جواب: $(y - 4)(x + 2) = 21$

809

سوال 2.26: جو میدان z تبدیل کرنے سے تبدیل نہیں ہوتے، ٹکلی محدود میں ان کی سمت بہا و خط $\frac{d\rho}{\rho d\phi} = \frac{E_\rho}{E_\phi}$ حل کرتے ہوئے حاصل کئے جاتے ہیں۔ نقطہ $(5, 75^\circ, 3)$ سے گزرتے میدان $E = \rho \cos \phi a_\rho + \sin \phi a_\phi$ کی سمت بہا و خط حاصل کریں۔

811

جواب: $\frac{1}{\rho} + \ln(\sin \phi) = 0.1653$

812

813

باب 16

سوالات

گاوس

3792

3793

3794

